

ST-MAURICE - ABBAYE

Les fouilles du Martolet – nouvelle lecture

Alessandra Antonini avec la collaboration de
Marie-Paule Guex et Jean-Christophe Moret (archéologues),
Marianne de Morsier Moret et Andreas Henzen (dessinateurs),
Michel Guélat (archéogéologue)

Table des matières

Volume 2

VII FIGURES

- 1/1 - 1/48 Historique des Fouilles (chapitre I.1)
- 2/1 - 2/7 Le contexte général – De la nécropole romaine à l'abbaye actuelle (chapitres I.2 à 3)
- 3/1 – 3/14 Le substrat (chapitre II)
- 4/1 – 4/52 Espace funéraire romain et premiers bâtiments (chapitre III.1)
- 5/1 – 5/47 Première église et sa reconstruction (chapitre III.2)
- 6/1 – 6/17 L'agrandissement du chevet (chapitre III.3)
- 7/1 – 7/39 Une église de nouvelles dimensions (chapitre III.4)
- 8/1 – 8/33 Les deux églises dotées de cryptes (chapitre III.5)
- 9/1 – 9/28 Les derniers agrandissements de l'église du Martolet (chapitres IV.1 à 2)
- 10/1 – 26 La nouvelle église XVIIe siècle et le carré abbatial (chapitres IV.3)

VIII RELEVÉS

- 8/1 - Plan de situation des coupes longitudinales et transversales
 - Coupes longitudinales A à K
 - Coupes transversales 0, A à N
- 8/2 - Relevé du Martolet par Laserométrie (Archéotech SA)
 - Plan de tous les vestiges
 - Plans des phases M1 à M15

Fig. 1/1: Vue aérienne du défilé vers le nord. (ASM ?)



Fig. 1/2. Plan géométral du Rhône daté de 1760, dressé par ordre de leurs Excellences de Berne et signé par F. G. de Roverea et P. de Rivaz. Extrait. (Etat du Valais, Service des bâtiments)

Fig. 1/3: Plan Cadastral du bourg de Saint-Maurice et ses environs levé en 1775. Extrait. (ASM)

a) Grand-rue ; b) rue du Chablais.

1) église abbatiale ; 2) église paroissiale Saint-Sigismond ; 3) basilique funéraire Notre-Dame en Condémines ; 4) chapelle Notre-Dame Sous-le-Bourg (cure de Lavey) ; 5) chapelle Saint-Laurent hors-les-murs ; 6) hospice Saint-Jacques ; 7) ermitage Notre-Dame du Scex ; 8) ermitage de Vérolliez avec chapelle des Martyrs ; 9) hôtel de Ville ; 10) gloriette, vestige du mur de fortification protégeant le flanc sud du bourg.



Fig. 1/4. Carte de l'ingénieur Nicolas Céard levée en 1802 sur ordre de Napoléon. Extrait. (Etat du Valais, Archives Cantonales)



Fig. 1/5. Abbaye de Saint-Maurice, plan schématique des espaces. Vue générale vers le sud-ouest (1994).

A) basilique du XVII^e siècle, agrandie en 1949 ; B) cour du Martolet ; C) cour Sainte-Catherine, avec cloître de 1949 ; D) cour Saint-Théodule ; E) cour Saint-Joseph, avec captage de la source ; F) internat, avec cour des Anciens ; G) bâtiment de la Procure, avec cour ; H) place du Parvis et avenue d'Agaune ; I) maison Panisset.

Fig. 1/6. Cour du Martolet, mai 1897.

Le tout premier sondage est ouvert au pied du clocher, pour rechercher le seuil du portail bouché et l'ancienne porte contiguë. (ASM)



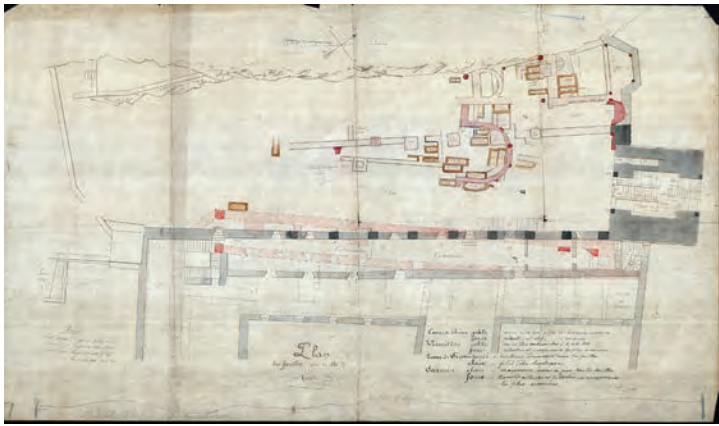


Fig. 1/7. Cour du Martolet, état des découvertes après les fouilles de 1896-97. Plan établi par Jules Michel sur la base d'un relevé géométral de M. de Cocatrix. Dessin à la plume colorié. (ASM)
Au nord du clocher, la chapelle Marie-Madeleine avec son chœur polygonal ; à l'ouest, l'abside dite de Sigismond.



Fig. 1/8. Cour du Martolet, les fouilles en été 1903. Vue vers l'ouest. (ASM)

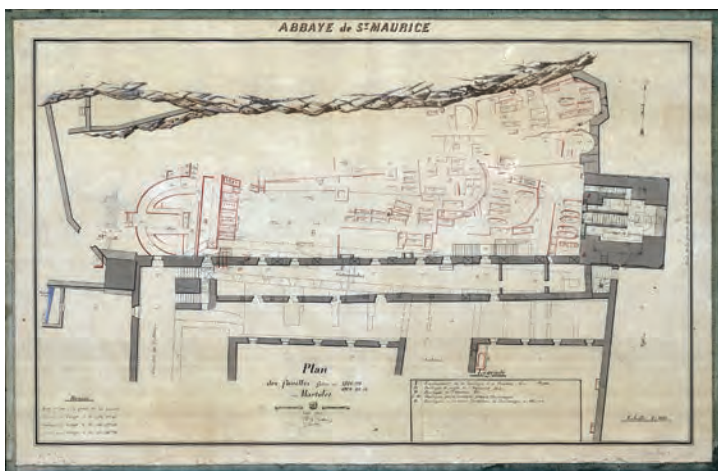


Fig. 1/9. Cour du Martolet, état des découvertes en 1912 selon un plan dressé par M. de Cocatrix (dessin à la plume colorié). (ASM)

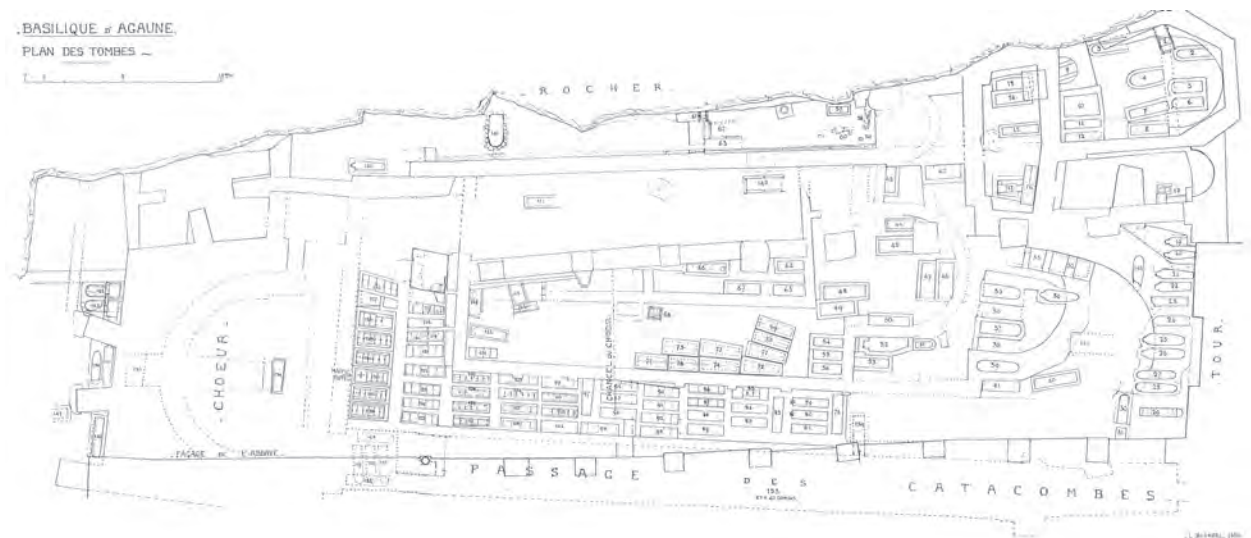


Fig. 1/10. Cour du Martolet, plan des tombes de 1950 signé par Louis Blondel. (ASM)



Fig. 1/11. Fouilles de 1947, pour l'agrandissement de l'église abbatiale. (ASM)

Le tombeau avec l'arcosolium peint et l'autel dédié aux Nymphes se situe au pied du profil, derrière une protection.



Fig. 1/12. Cour du Martolet et environs, plan des phases archéologiques édité par Louis Blondel et regroupant les travaux de 1944 à 1949. (ASM)



Fig. 1/13. Cour du Martolet, état en 1989. Vue vers l'est. (ASM)



Fig. 1/14. Abbaye de Saint-Maurice, vue aérienne des vestiges du Martolet, novembre 1994. (ASM, fouilles Lehner)



Fig. 1/21. Cour du Martolet, extraction d'un chapiteau scellé en remploi dans la façade sud de la cour.



Fig. 1/22. Cour du Martolet, protection hivernale des vestiges.



Fig. 1/23. Cour du Martolet, protection finale des vestiges du mausolée par un plancher revêtu d'une bâche en plastique. 2005



Fig. 1/24. Cour du Martolet, remblaiement des vestiges. 2005
Du gravier lavé (4/8) a été réparti sur le site à l'aide d'un « super-aspirateur » (entreprise Huber-Etter, Vuadens).



Fig. 1/25. Aile nord du bâtiment conventuel (combes), façade sud de la chapelle Félix. 2003



Fig. 1/26. Cour St-Joseph, excavation pour un forage de drainage. 2003



Fig. 1/27. Aile nord du bâtiment conventuel (cave 3), le revêtement en briques recouvre un pavage de boulets. 2004



Fig. 1/28. Basilique actuelle, tranchée de canalisation. 2004
Le mur occidental de l'église du Parvis a été mis au jour.



Fig. 1/29. Aile nord du bâtiment conventuel (couloir des catacombes), le passage provisoire établi en 2005.



Fig. 1/30. Cour du Martolet, le cimetière occidental à l'emplacement du nouveau mur de clôture. 2009



Fig. 1/31. Cour du Martolet, ancienne limite occidentale. 2009



Fig. 1/32. Cour du Martolet, état après le nettoyage général en 2010.

Fig. 1/33. Cour du Martolet, état après la pose du cheminement provisoire en 2010.



Fig. 1/34. Aile nord du bâtiment conventuel (couloir des catacombes), travaux de drainage. 2010

Fig. 1/35. Cour du Martolet, tombe d'enfant (T452) mise au jour dans le mausolée. 2011





Fig. 1/36. Cour du Martolet, fermeture orientale du site, avant l'assainissement des maçonneries. 2011



Fig. 1/37. Clocher, travaux d'inventorisation et conditionnement du dépôt. 2011

Fig. 1/38. Aile nord du bâtiment conventuel (couloir des catacombes), réouverture d'une ancienne porte latérale. 2014



Fig. 1/39. Aile nord du bâtiment conventuel (couloir des catacombes), assainissement de la voûte. 2014



Fig. 1/40. Cour Ste-Catherine, étude de la cuve baptismale. 2014

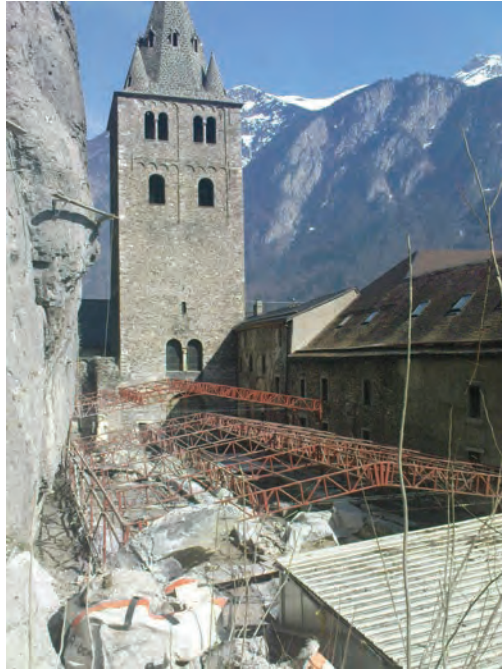


Fig. 1/41. Cour du Martolet, premier ancrage des supports de la nouvelle toiture dans la paroi rocheuse. 2007-2008



Fig. 1/42. Cour du Martolet, construction de la nouvelle toiture dans la paroi rocheuse. (image prise par l'entreprise de construction, 2007-2008)



Fig. 1/43. Cour du Martolet, construction du mur occidental en éléments préfabriqués. 2010



Fig. 1/44. Cour du Martolet, secteur du mausolée. 2012. Mur démolé pour faciliter la lecture du site.



Fig. 1/45. Cour du Martolet, secteur du mausolée après les démontages. 2012



Fig. 1/46. Cour du Martolet, fermeture orientale du site (parement extérieur) lors des travaux d'assainissement. 2012



Fig. 1/47. Cour du Martolet, façade sud restaurée. 2012



Fig. 1/48. Cour du Martolet, après la pose du cheminement en dalles de béton. 2013

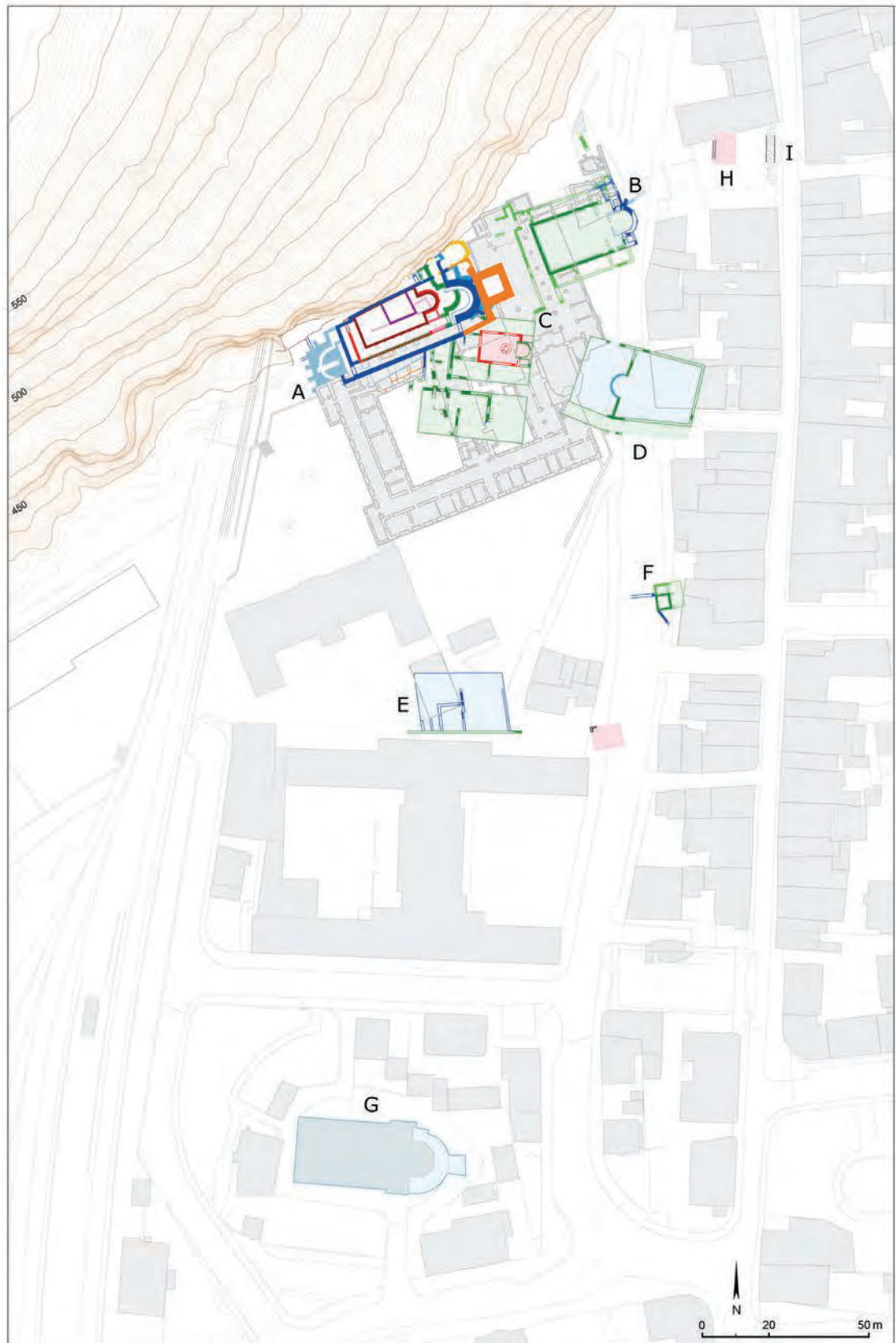


Fig. 2/1. Plan **b** ématique des veŝ iges du premier millénaire (état 2014).
 A) néc opole puis église du Martolet ; B) église du Pariv s ; C) baptis ère ; D) palais aœ c aula de rée ption
 ; E) grand bâtiment aœ c hœ oa us e ; F) bâtiment aœ c hœ oa us e ; G) église St-Sigismond (anc enne
 église funéraire St-é an) ; H) bâtiment aœ c hœ oa us e ; I) Voie antique.

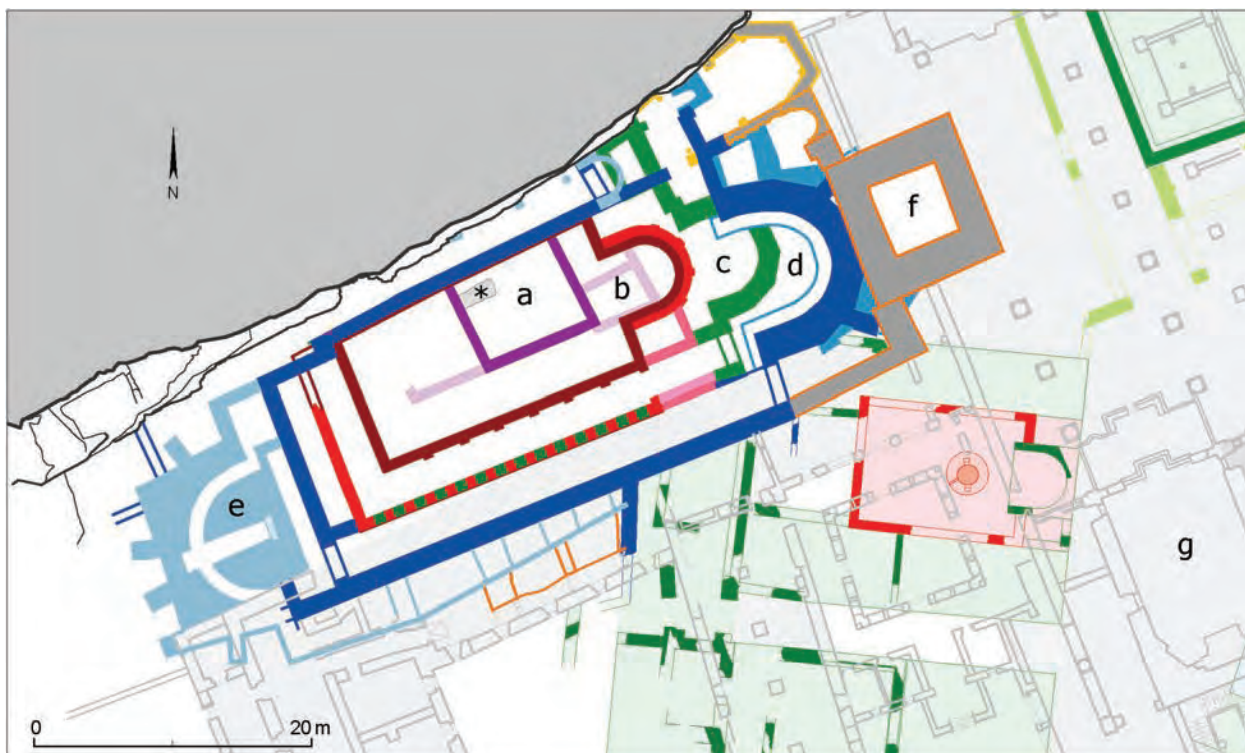


Fig. 2/2. Plan schématique des anciennes églises du Martolet.

*) tombe initiale ; a) bâtiment funéraire ; b) abside de la 1^e et 2^e église ; c) de la 3^e église ; d) de la 4^e et 5^e église ; e) chœur occidental de la 6^e église ; f) ajout du clocher-porche flanqué de chapelles latérales ; g) nouvelle église tournée vers le sud.

Fig. 2/3. Voir page suivante

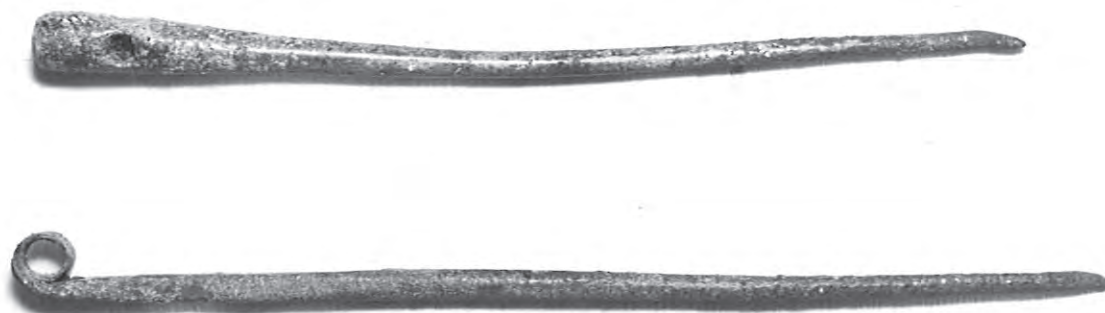


Fig. 2/4. Martolet, mobilier daté de l'âge du Bronze ancien (Bz A2b/B1), prélevé dans le cadre de réduction d'une tombe du haut Moyen Âge fouillé en 1944, au pied du rocher.

Épingle en bronze à tête enroulée (Rollenbohrnadel), n° inv. 40703

Épingle en bronze à tête de masse, perforée (durböhrte Keulenbohrnadel), n° inv. 40704

Lieu de dépôt et photo : Musée d'histoire du Valais A. de Torrenté

L'abbaye au VI^e siècle



TERA 2014



Centum 2014

L'abbaye au milieu du XVII^e siècle



Mérian 1653



Centum 2014

L'abbaye du XVIII^e au XX^e siècle



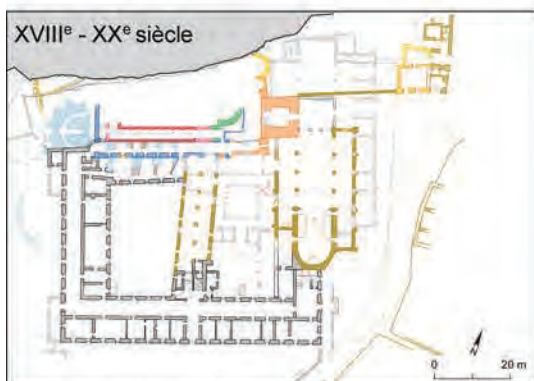
après 1906

Carte postale



après 1915

Centum 2014



en gris l'agrandissement de 1945

TERA 2014



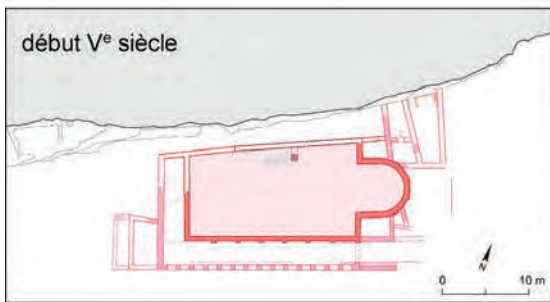
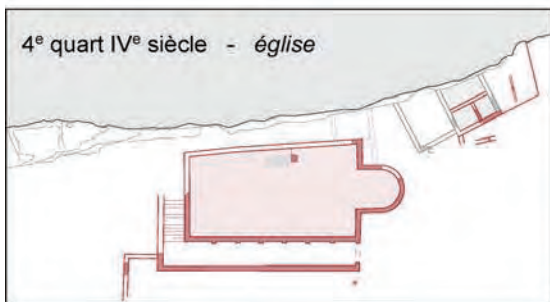
début XXI^e siècle

Archives de l'abbaye

Fig. 2/3. Evolution du complexe abbatial en images : de la fondation au XXI^e siècle.

Fig. 2/4. Voir page précédente.

Plans des vestiges (TERA 2014)



Modélisations 3D (Centum 2014)

A



B



C



D



E



Fig. 2/5. Evolution de la cour du Martolet : III^e au Ve siècles.

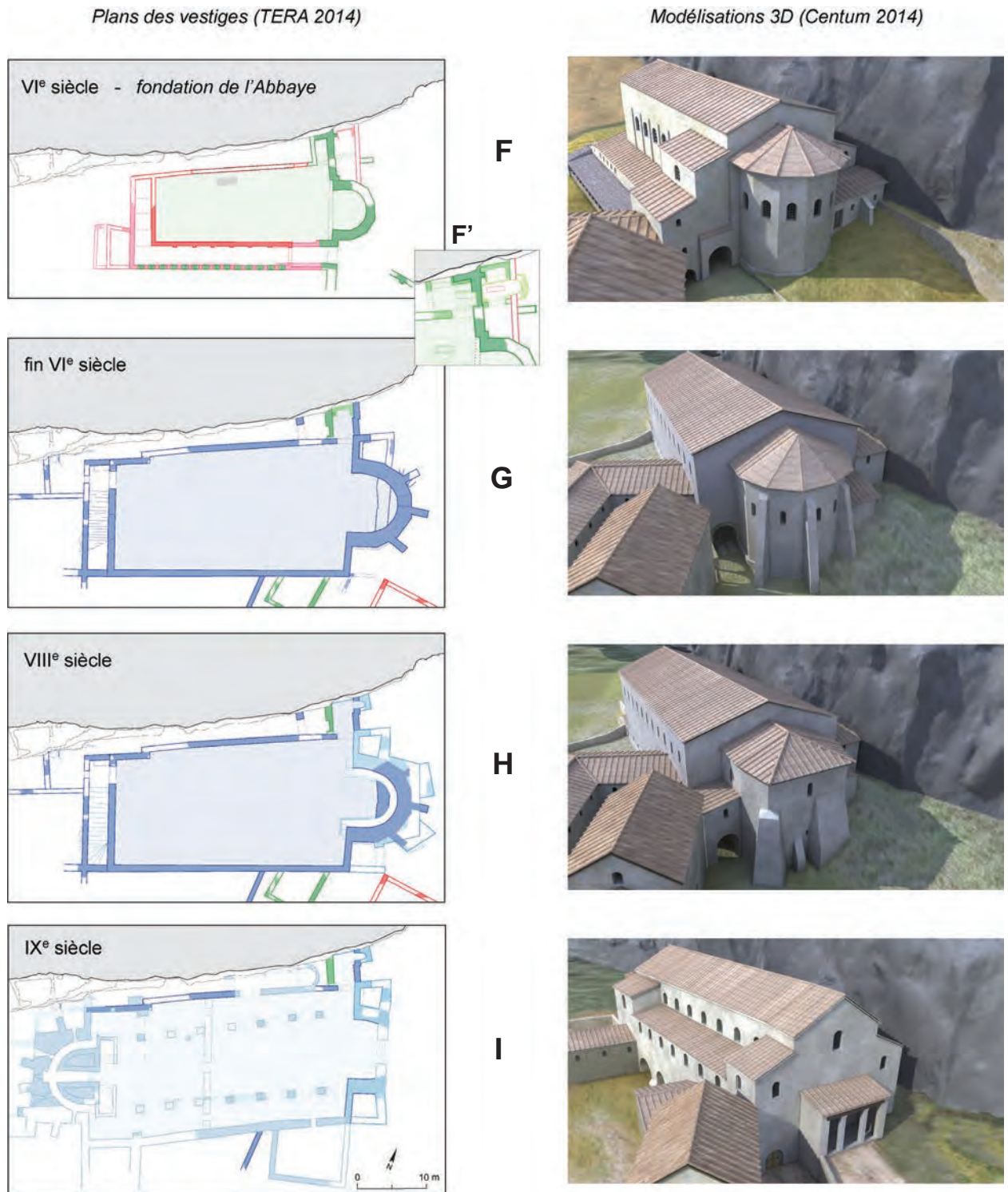
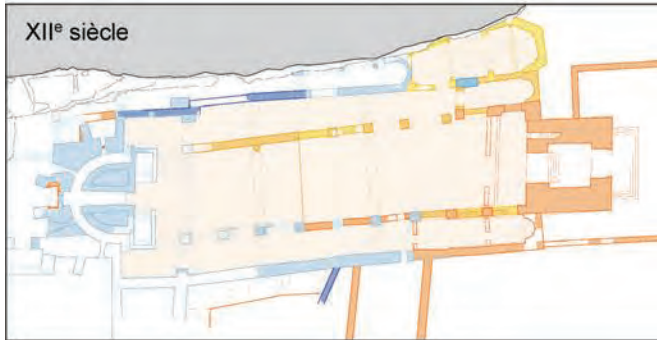


Fig. 2/6. Evolution de la cour du Martolet : VI^e au IX^e siècle.

Plans des vestiges (TERA 2014)



Modélisations 3D (Centum 2014)



Fig. 27. Evolution de la cour du Martolet : IX^e au XVII^e siècle.

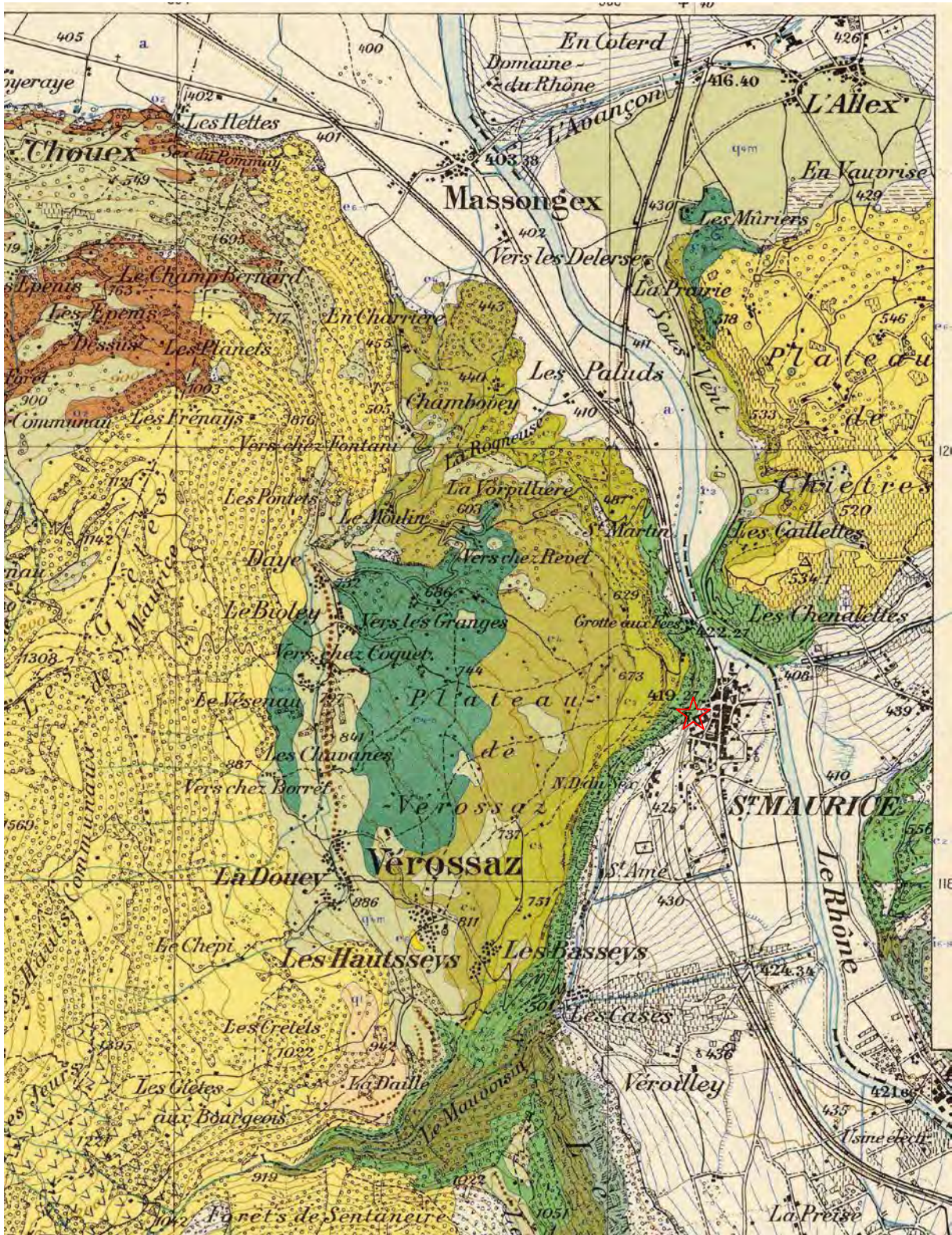


Fig. 3/1 Carte géologique de la région de St-Maurice. Le site archéologique du Martolet () se localise en rive gauche du Rhône, au pied des falaises de calcaires valanginiens (en vert-c2). Echelle : espacement du quadrillage = 2 km. Extrait de *l'Atlas géologique de la Suisse*, f. 8 St-Maurice.

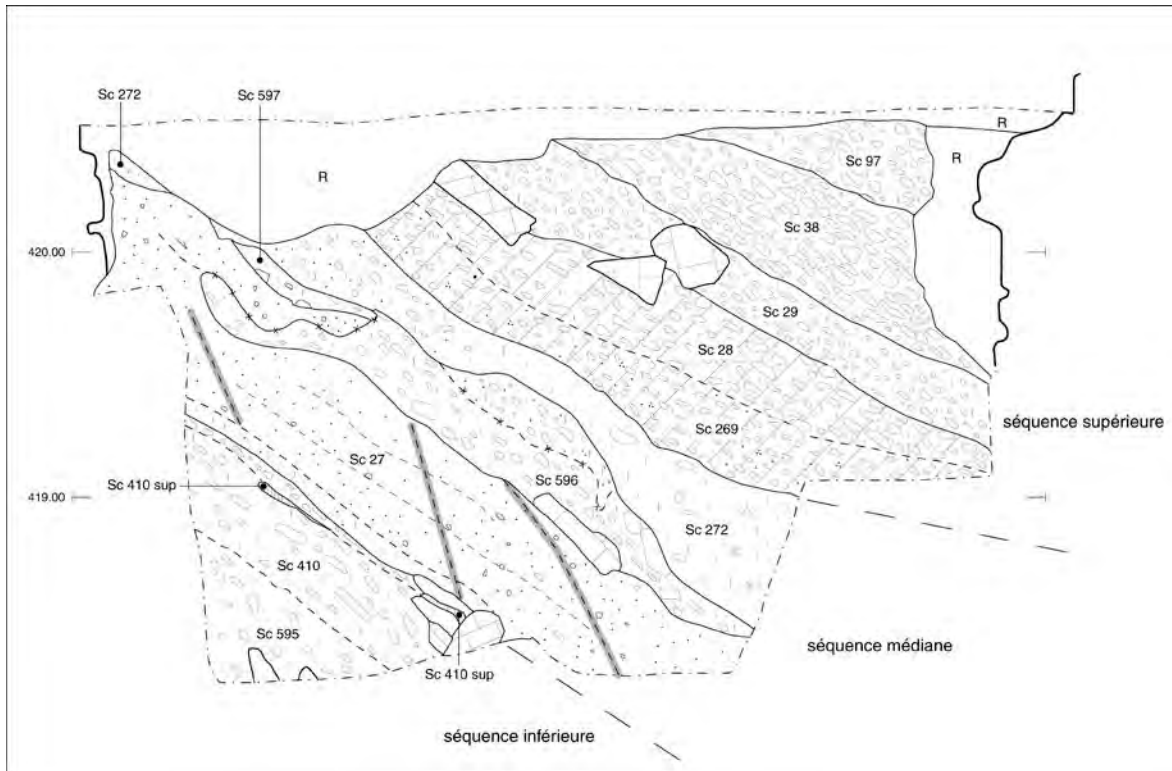


Fig. 3/2 La coupe C278 montre une succession de trois séquences bien distinctes, elles-mêmes subdivisées en couches. A la base, la séquence inférieure se constitue de gélifracts lités dans une abondante matrice silteuse ; au-dessus, la séquence médiane se compose essentiellement d'apports exogènes au site ; au sommet, la séquence supérieure est formée de dépôts cryoclastiques, accumulés au pied de la falaise. *Infographie : TERA.*

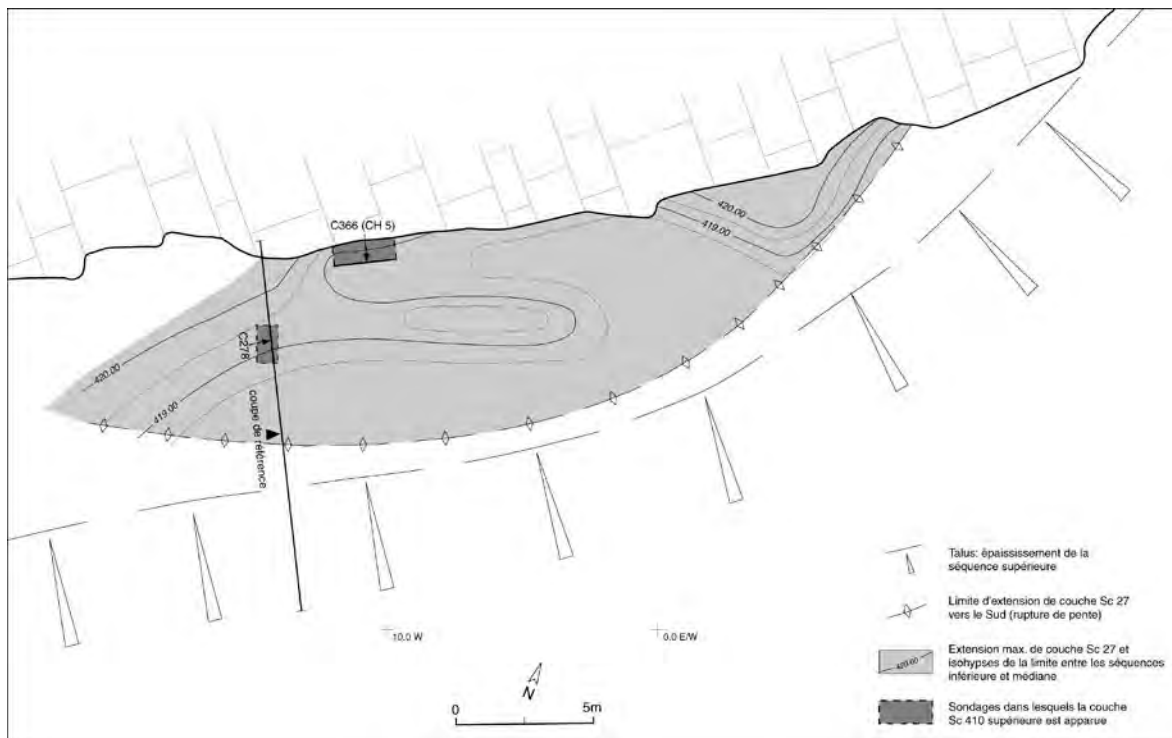


Fig. 3/3 Reconstitution planimétrique de l'extension des trois séquences et position des coupes mentionnées dans le rapport. La séquence inférieure, restituée par des isohypses, se développe particulièrement dans la partie occidentale du site. La séquence médiane (en grisé) se limite à la partie centrale et crée un léger replat à quelques mètres du rocher. Les dépôts de la séquence supérieure recouvrent le tout d'une nappe disposée en éventail. *Infographie : TERA.*

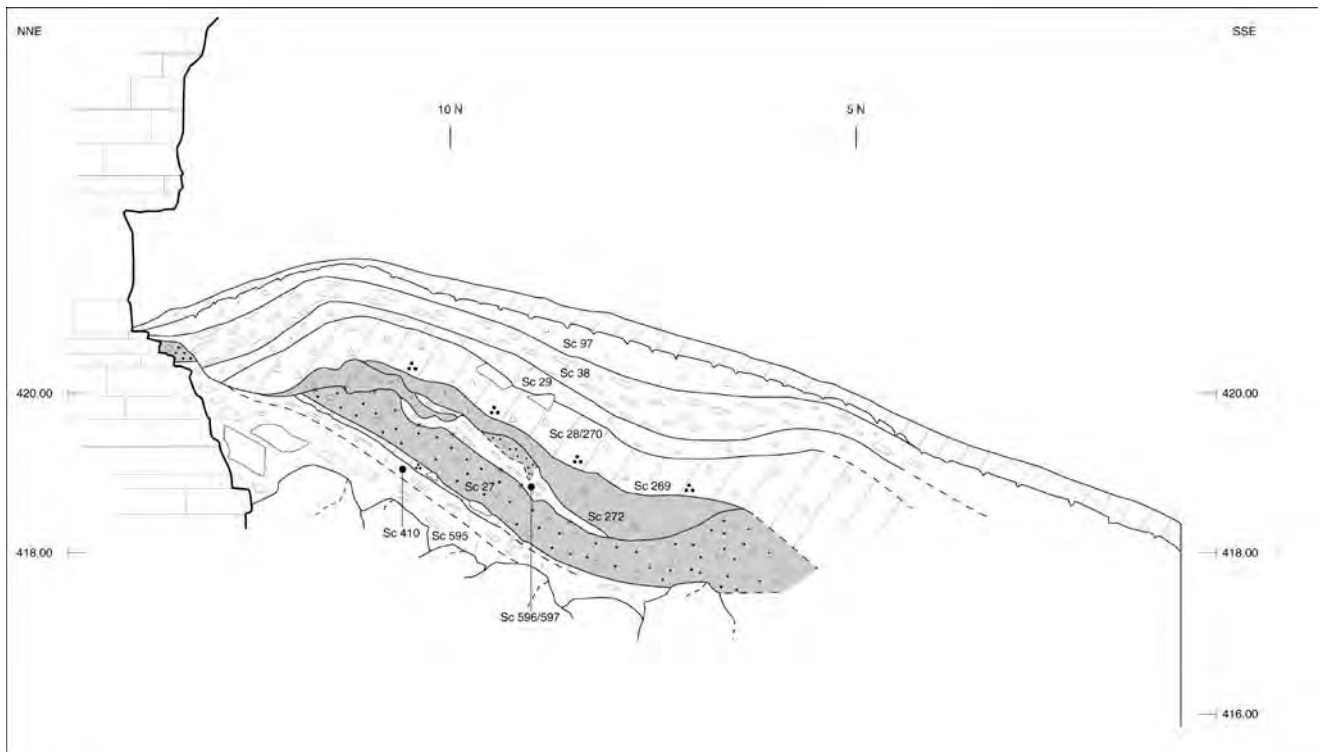


Fig. 3/4 Reconstitution d'une coupe à travers les sédiments naturels accumulés sur le site avant l'implantation du premier bâtiment, selon l'axe de la coupe C278. En grisé, la séquence médiane se présente comme un plaquage de sédiments exogènes compris entre deux limites d'érosion. *Infographie : TERA.*

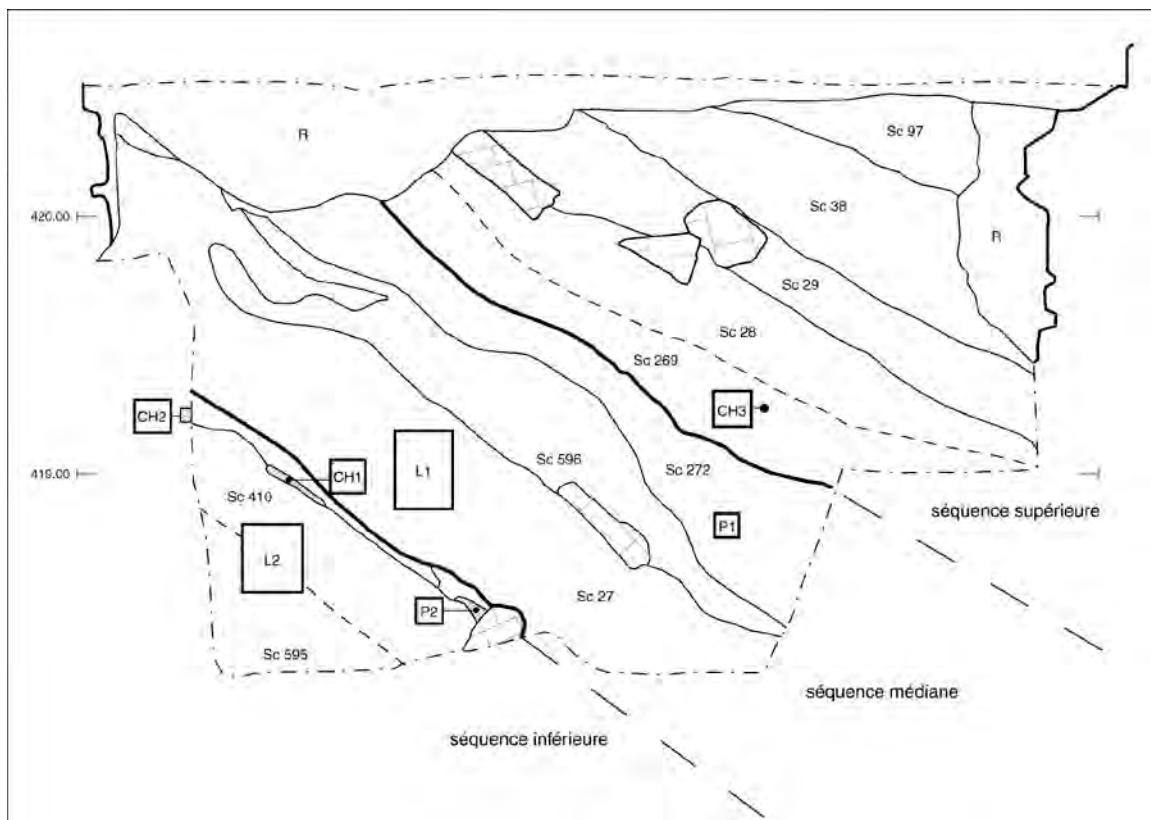


Fig. 3/5 Les différents prélèvements effectués dans la coupe C278 : P1, P2 : palynologie MAL : malacologie CH1, CH2 et CH3 : charbons de bois pour datation au ^{14}C L1 et L2 : datations par OSL. *Infographie : TERA.*



Fig. 3/6 Mollusques de la couche Sc272 : *Cecilioides acicula* à gauche et *Helicodonta obvoluta* à droite.

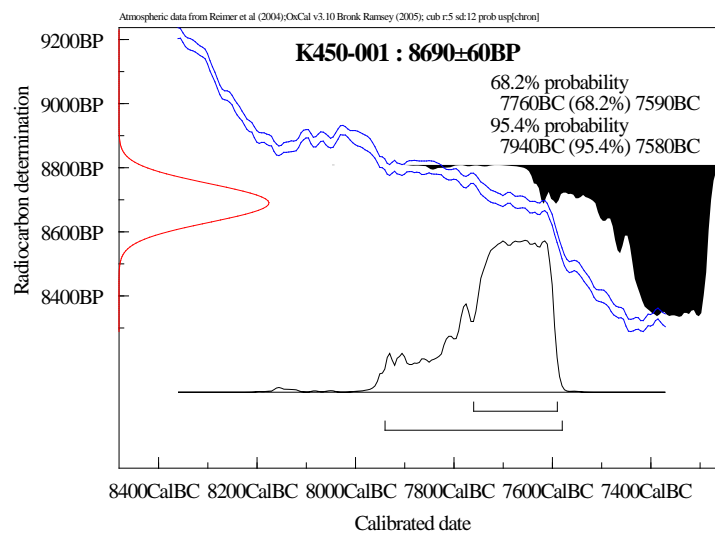


Fig. 3/7 Calibration de la date ^{14}C obtenue sur l'échantillon CH1.

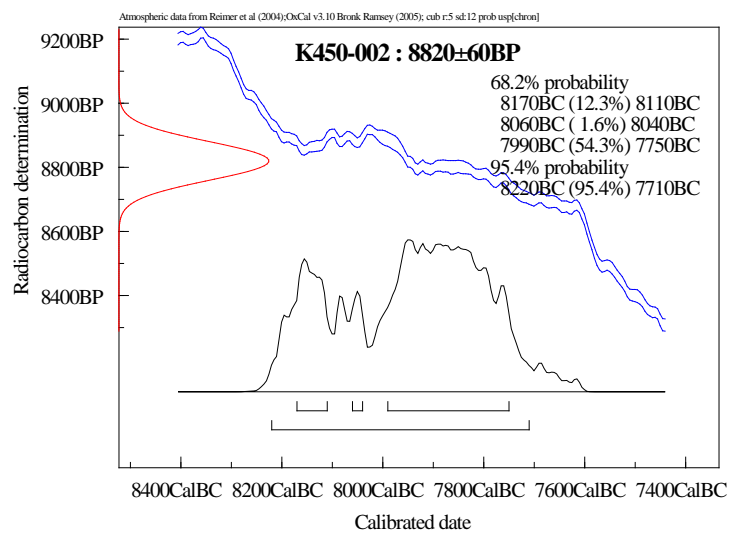


Fig. 3/8 Calibration de la date ^{14}C obtenue sur l'échantillon CH2.

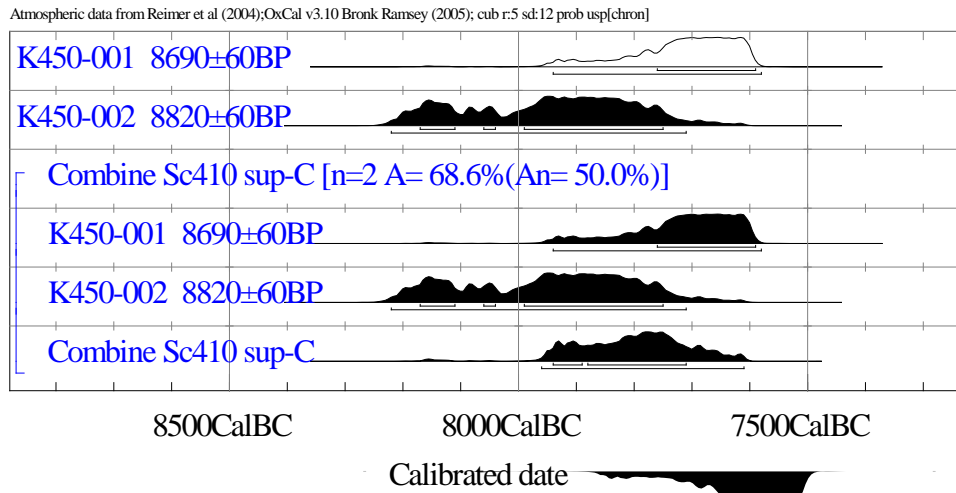


Fig. 3/9 Combinaison des deux dates ^{14}C obtenues à partir des échantillons CH1 et CH2.

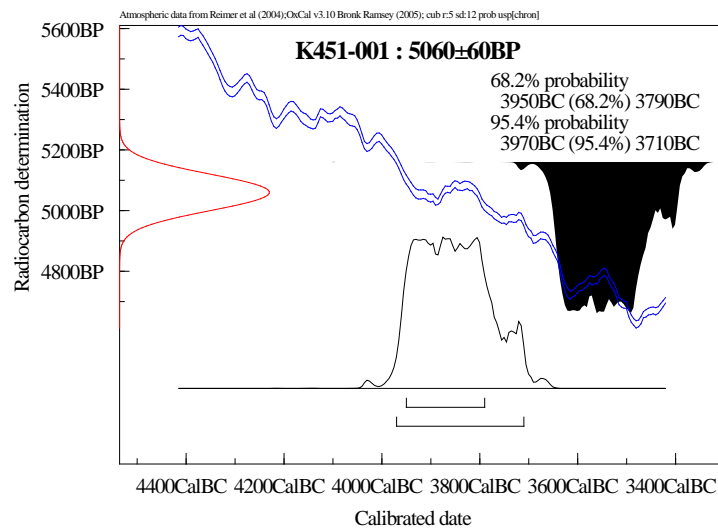


Fig. 3/10 Calibration de la date ^{14}C obtenue sur l'échantillon CH3.

II LE SUBSTRAT NATUREL DU MARTOLET

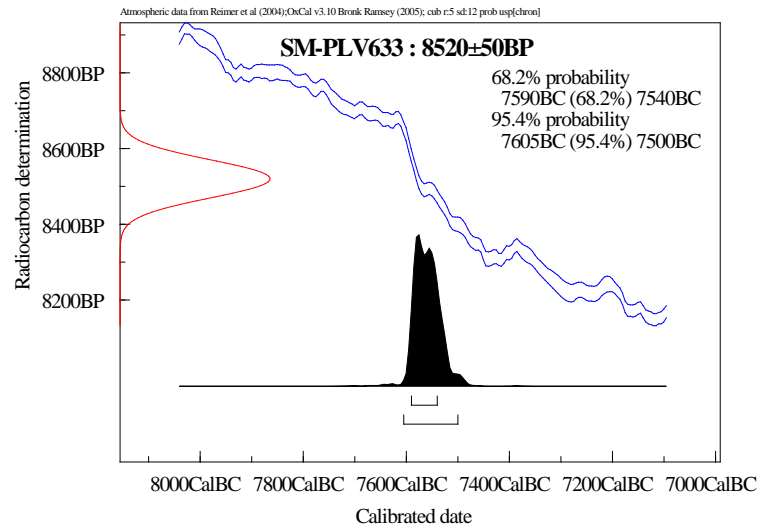


Fig. 3/11 Calibration de la date ^{14}C obtenue sur l'échantillon CH5.

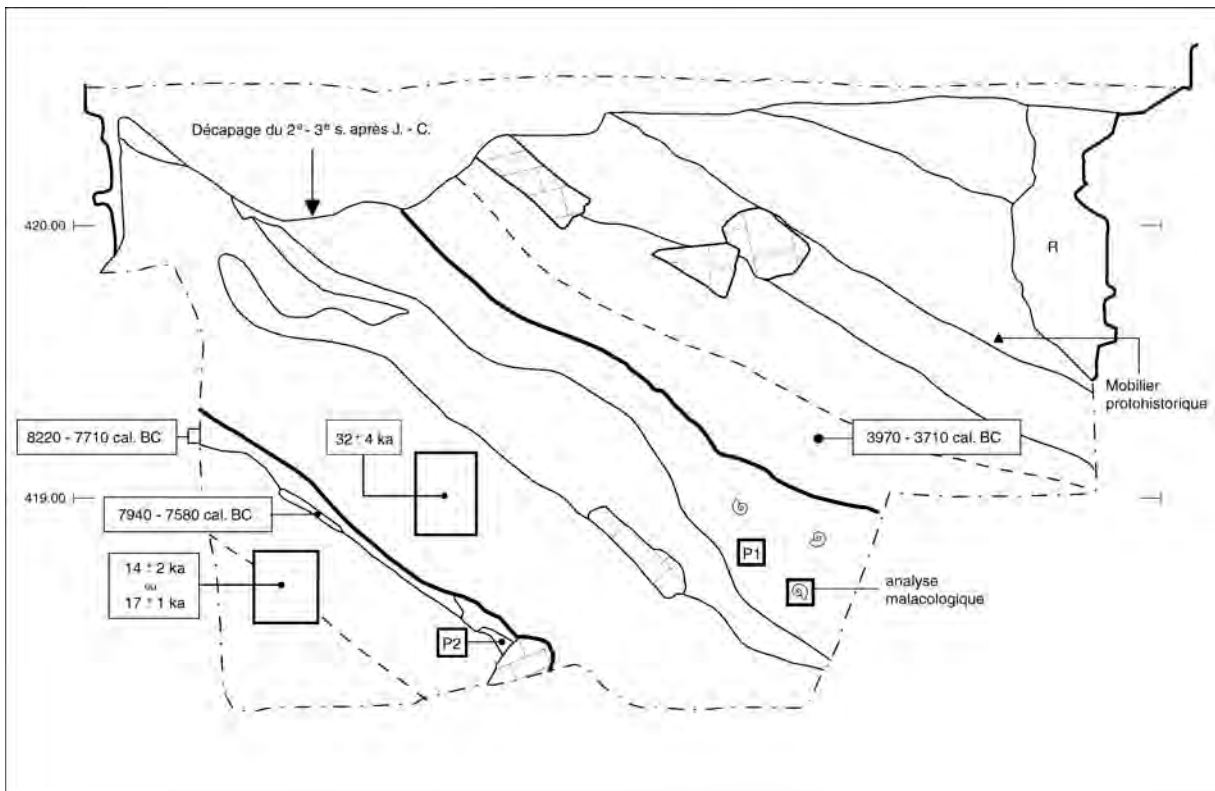


Fig.3/12 Eléments de datation disponibles pour la stratigraphie de la coupe C278.

II LE SUBSTRAT NATUREL DU MARTOLET

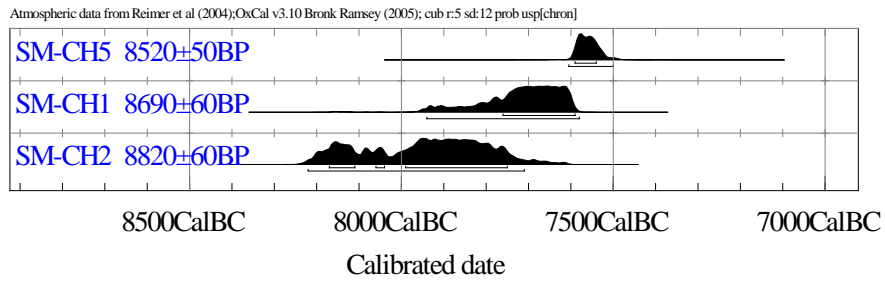


Fig. 3/13 Dates ^{14}C calibrées obtenues tout au sommet de la séquence inférieure.

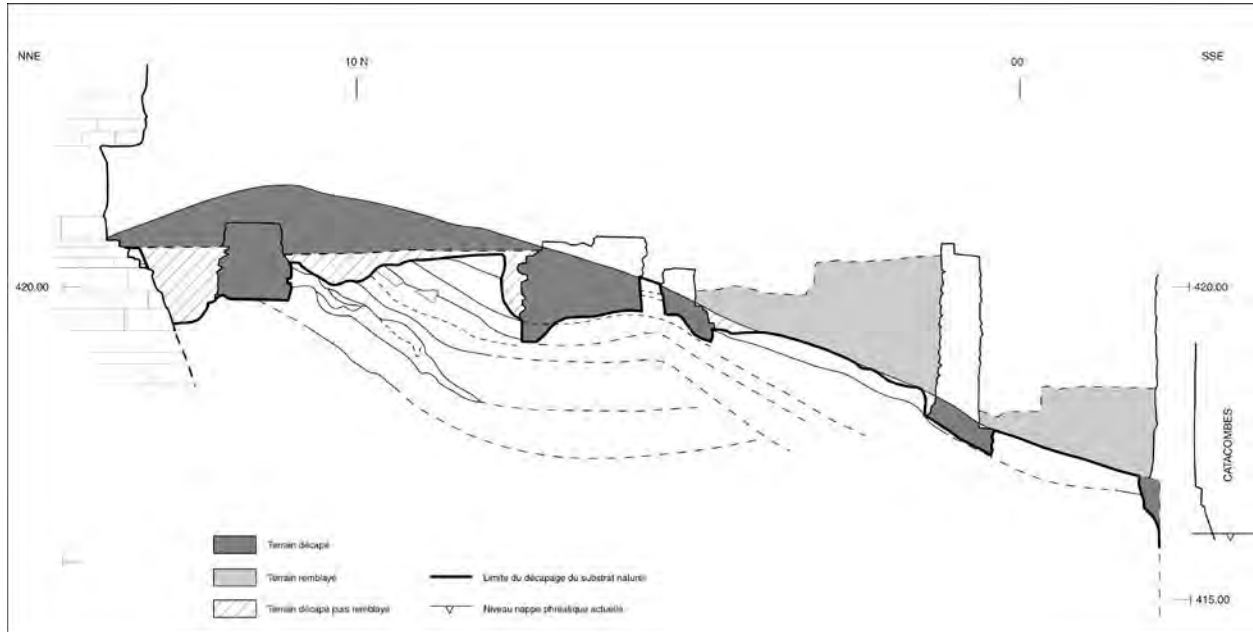


Fig. 3/14 Vision transversale à travers le gisement construite en projetant les fondations des édifices, ainsi que les niveaux d'arase s'y rapportant, sur la coupe reconstituée du terrain naturel de la figure 4. Les bâtisseurs ont mis à profit le replat induit initialement par la séquence médiane, le nivellement ayant principalement affecté le monticule formé à l'aplomb de la falaise, dans la partie interne du site. *Infographie : TERA.*



Fig. 4/1. Martolet. Plan de la nécropole, phase A (Ile – 1ère moitié du IIe s.).



Fig. 4/2. Martolet. Sépulture principale (T423) du replat supérieur, avec son marquage de surface (a). De plus, les trois tombes orientées nord-sud T422, T424 et T428 (b, c, d) encore partiellement recouvertes du dallage des églises médiévales. Vue vers le nord.

Fig. 4/3. Martolet. Sépulture T423. Restauration du squelette sous l'emprise du marquage.

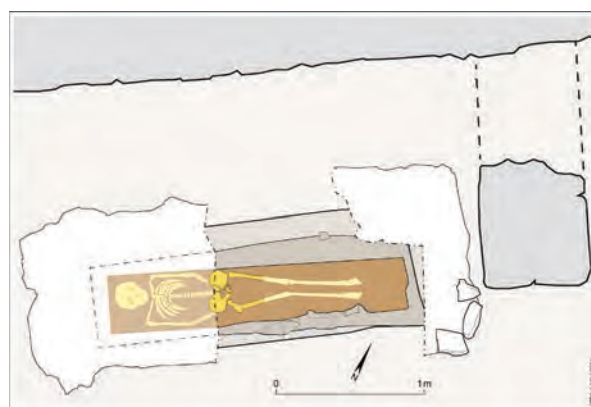


Fig. 4/4. Martolet. Sépulture T423. Sondage vu vers le nord. Un remblai de couleur différente et le bois restant permettent de localiser le contour du cercueil. Le sondage a été remblayé sans mettre au jour du squelette.



Fig. 4/5. Martolet. Sépulture T423, détail du squelette (basin). Vue vers l'ouest.

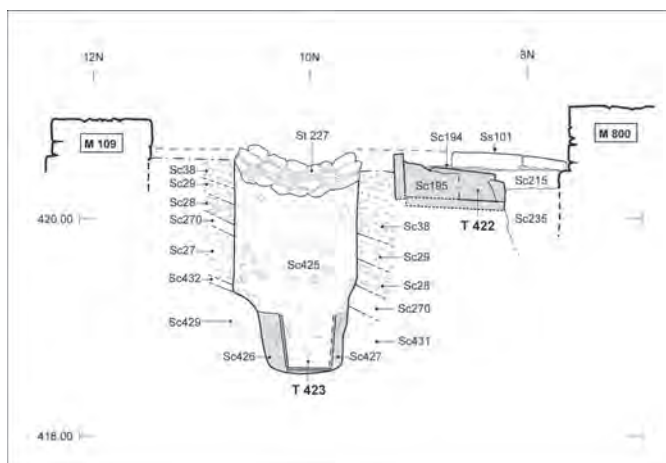


Fig. 4/6. Martolet. Sépulture T423, o upe e hématique. Vue e rs l'es .
Le marquage de surface (St227) a fléchi après le tassement des remblais (S4 25). A droite, la tombe orientée nord-s d T422, peré e par un mur de l'église romane.



Fig. 4/7. Martolet. Sépulture T423, o upe du terrain. Vue e rs l'oues .
A: marquage de s rfae .
B: Perturbation.
C: remblai affaisé de la foes .
D: remblai entre le e ra eil et la foes .
E: e ra eil.
F: clou (longueur 9 cm, section 2 cm) fixant le o ue rbe du o ffre en bois



Fig. 4/8. Martolet. Tombe de la nécropole (T165), antérieure à la o nts rut ion du maué lée.
Tombe en dalles de terre a ite de format bipédale. A droite de l'humérus droit, une fiole en verre.
Vue e rs le nord-oues . Photo P. Bourban, juillet 1903.

Fig. 4/9. Martolet. Tombe de la nécropole (T421), antérieure à la o nts rut ion du maué lée.
Au-dessus du couvercle affaisé, une maçonnerie (M928) de font ion indéterminée. Vue e rs l'es .



Fig. 4/10. Martolet. Tombe de la nécropole (T421). Vue e rs le nord.



Fig. 4/11. Martolet. Tombe de la nécropole (T448), vue plongeante vers le nord. La partie inférieure du corps est prise sous le mur oriental du mausolée. Le mobilier est disposé le long du bras droit. Les bous indiquent le bord du cercueil.

Fig. 4/12. Martolet. Tombe de la nécropole (T448), coupe schématique montrant sa position par rapport mur du mausolée. Coupe nord-sud, vue vers l'ouest.

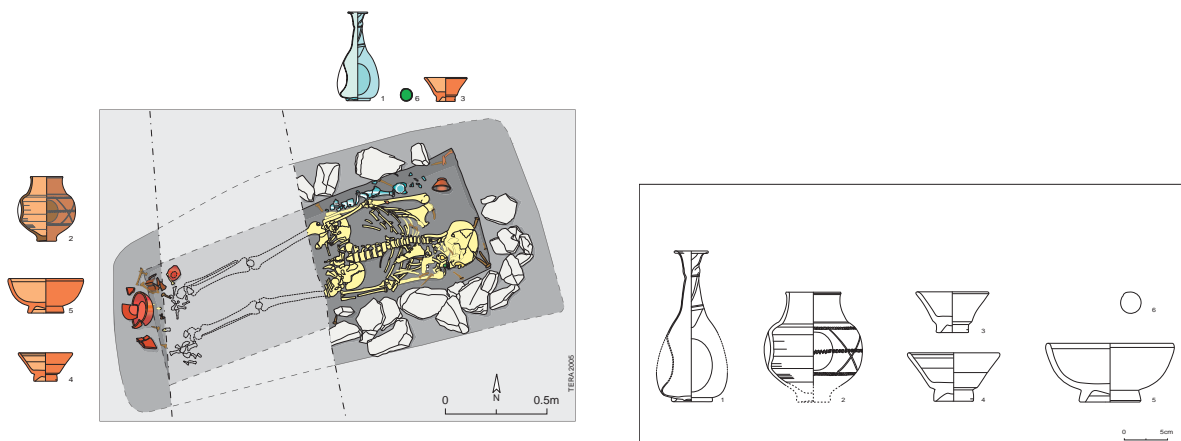
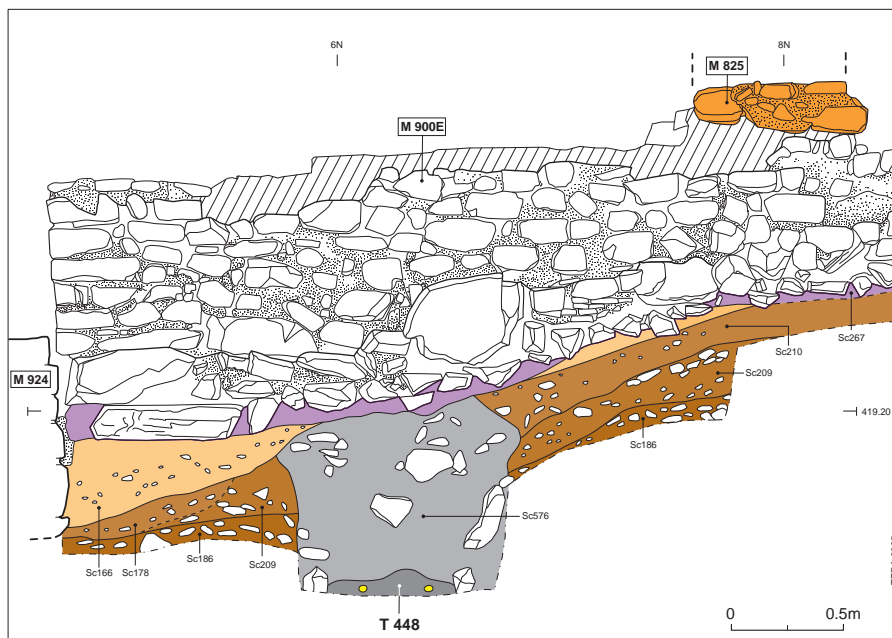


Fig. 4/13. Martolet. Tombe de la nécropole (T448), plan schématique de la tombe, avec position et détail du mobilier.



Fig. 4/14. Martolet. Tombe de la nécropole (T448), détail de la fibule en verre déposée à côté du bras droit.



Fig. 4/15. Martolet. Tombe de la nécropole (T448), détail de la coupe en terre sigillée trouvée près de l'épaule droite.

Fig. 4/16. Martolet. Tombe de la nécropole (T448), détail d'un clou du cercueil et des deux récipients imbriqués l'un dans l'autre retrouvés près des pieds. Vue vers l'ouest.



Fig. 4/17. Martolet. Tombe de la nécropole (T448), vue d'ensemble du mobilier.



Fig. 4/18. Martolet. Groupe de tombes situées à l'est du bâtiment oriental. Vue vers l'ouest.



Fig. 4/19. Martolet. Bâtiment oriental au pied du rocher, vestiges de foyers. Vue vers l'est. Les deux tombes au premier plan étaient remblayées et recouvertes par une épaisse couche cendreuse provenant de deux foyers. A : 1er foyer. B : 2e foyer.



Fig. 4/20. Martolet. Tombe d'enfant (T472) adossée au bâtiment oriental. Vue vers le sud.



Fig. 4/21. Martolet. Tombe d'enfant (T465) adossée au bâtiment oriental. Vue vers l'ouest. Etat après dégagement du squelette.

Fig. 4/22A. Martolet. Tombe d'enfant (T465), ouverture. Les tombes situées à l'est du bâtiment oriental sont remblayées avant le changement d'affectation de la zone. Vue vers le sud-est.





Fig. 4/22B. Martolet. Détail du foyer (ST860). Vue vers le nord-ouest.



Fig. 4/23. Martolet. Bâtiment oriental au pied du rocher, en contrebas du replat supérieur. Vue vers le sud.



Fig. 4/24. Martolet. Idem, détail de la tombe de nouveau-né (T471) dans l'angle du bâtiment. Vue vers le sud.



Fig. 4/25. Martolet. Idem, tombe de nouveau-né (T471). Vue vers le sud-est.

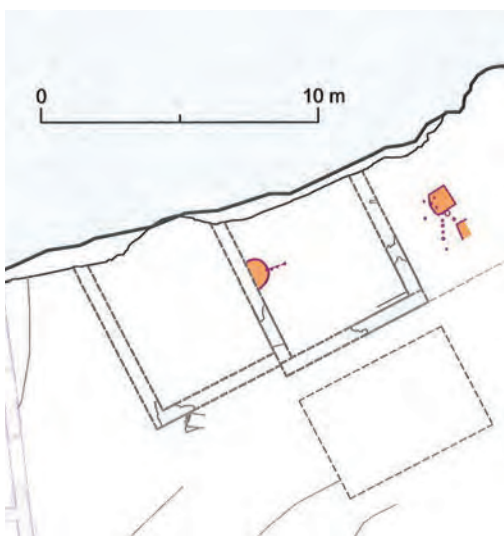


Fig. 4/26. Martolet. Plan du bâtiment oriental, phase B avec les foyers.



Fig. 4/27. Martolet. Bâtiment oriental, sigille du four adossé à la paroi occidentale. Vue vers le nord-ouest.



Fig. 4/28. Martolet. Bâtiment oriental, four semi-circulaire avec sol rubéfié aux alentours. Trois négatifs de piquets indiquent une ancienne cloison. Le sol en terre est réparé par des dalles. Vue vers le nord-ouest.



Fig. 4/29. Martolet. Idem. Vue vers l'est.

Fig. 4/30. Martolet. Plan du bâtiment oriental, phase C avec les sols en mortier.

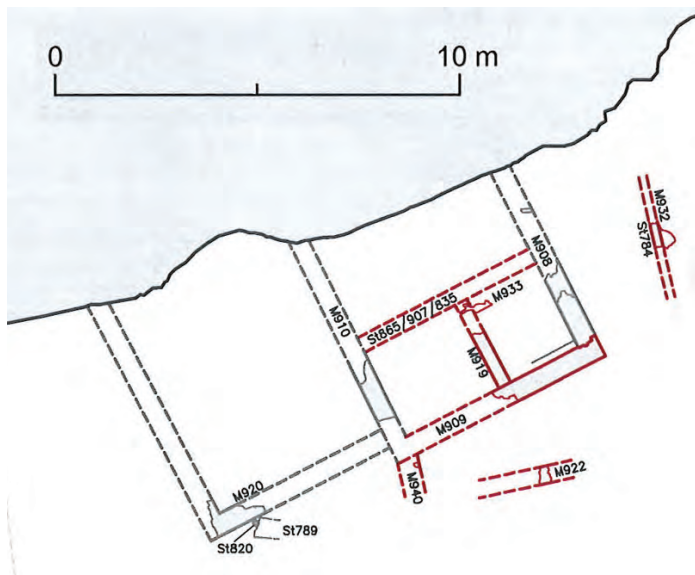


Fig. 4/31A. Martolet. Bâtiment oriental, détail du mur sud avec l'angle de la paroi de refend. Vue vers l'ouest.



Fig. 4/31B. Martolet. Bâtiment oriental, détail du mur oriental avec les restes du sol de mortier au tuileau qui remonte entre les parois. Vue vers le nord.

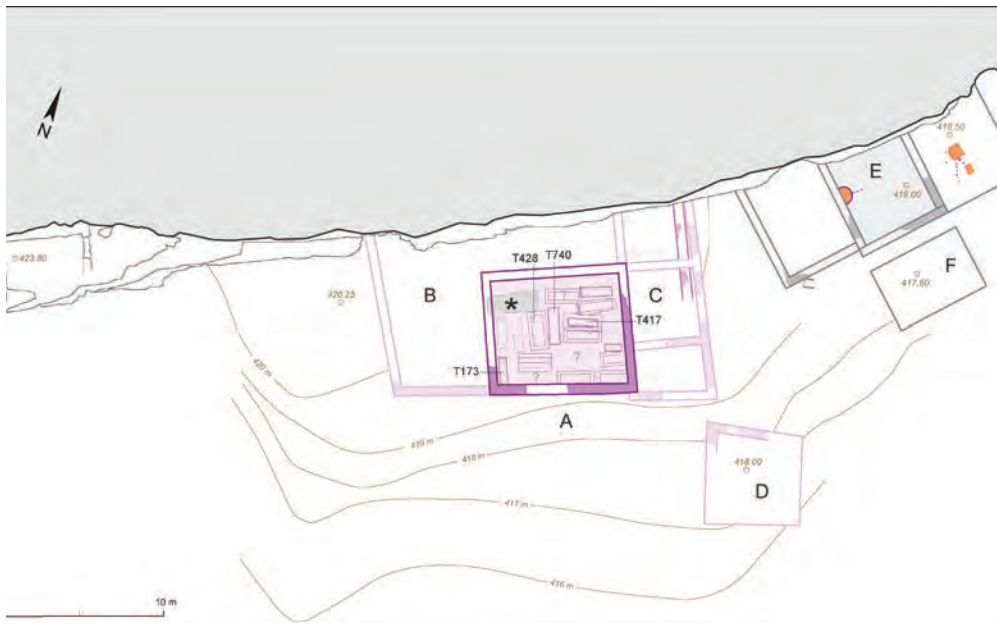


Fig. 4/32. Martolet. Plan de la nécropole avec le mausolée, phase B (2e quart du IVe s.).



Fig. 4/33. Martolet. Le mausolée vu vers le nord-ouest.



Fig. 4/34. Martolet. Angle sud-est du mausolée.



Fig. 4/35. Martolet. Mausolée, mur oriental (face extérieure).



Fig. 4/36A. Martolet. Mausolée, mur sud (face extérieure).



Fig. 4/36B. Martolet. Mausolée, mur sud (face intérieure).



Fig. 4/37. Martolet. Annexe orientale du mausolée, mur de refend. Face sud.



Fig. 4/38. Martolet. Tombes du mausolée.

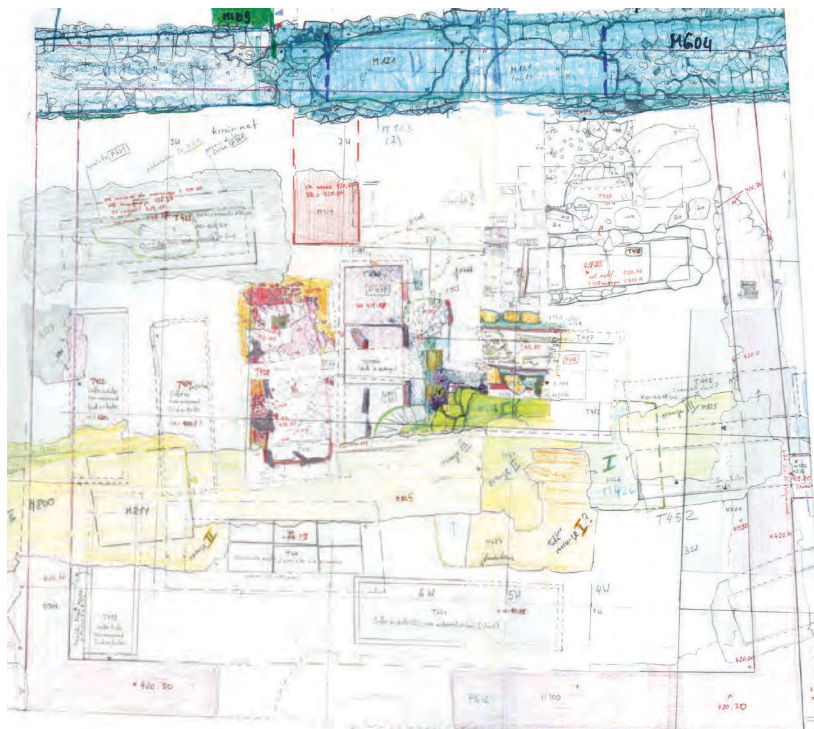


Fig. 4/39. Martolet. Tombes du mausolée, relevé.



Fig. 4/40. Martolet. Mausolée, tombes T428 et 470. Vue vers le sud. Tera 2012.



Fig. 4/41. Martolet. Mausolée, tombe T428. Vue vers le sud-ouest. Tera 2012.



Fig. 4/42. Martolet. Mausolée, tombe T470. Vue vers le sud-est. Tera, 2012.



Fig. 4/43.

Fig. 4/43-45. Martolet. Mausolée, tombe T470. Détails de fragments de mortier au tuileau durci au contact d'un tissu contenant des fils d'or.



Fig. 4/44.



Fig. 4/45.



Fig. 4/46. Martolet. Mausolée, tombe T173. Vue vers le nord-ouest. P. Bourban, juillet 1900.



Fig. 4/47. Martolet. Mausolée, groupe de tombes adossées au mur oriental. Vue vers l'ouest.



Fig. 4/48. Martolet. Mausolée, tombe T417. Sous le poids de la dalle de couverture, une partie de la paroi gauche a basculé.



Fig. 4/49. Martolet. Mausolée, tombe T417 après mise au jour du chevette. Les tuiles des parois, fixées sur l'arrière par un bourrage de mortier, étaient recouvertes, comme le fond, d'un enduit au tuileau.



Fig. 4/50. Martolet. Mausolée, tombe T418. Exemple d'architecture mixte, avec des côtés longs maçonnés et une dalle (tuile) aux extrémités. Vue vers l'ouest.



Fig. 4/51. Martolet. Mausolée, tombe T66. Les deux extrémités de la sépulture étaient perturbées. Vue vers l'est.



Fig. 4/52. Martolet. Mausolée, tombe T66, après restauration. Vue vers le nord.

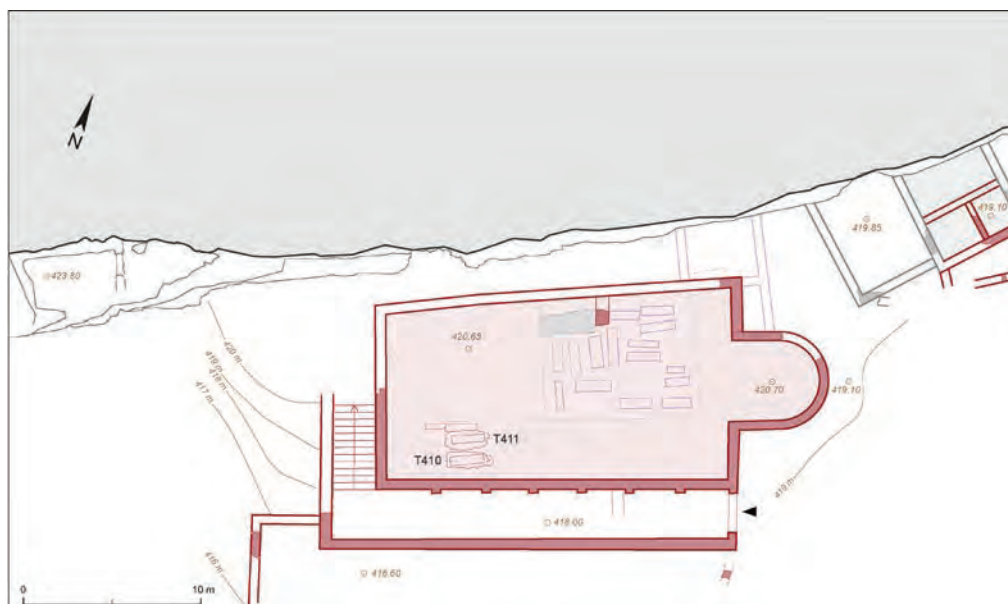


Fig. 5/1. Martolet. Plan de la première église (dernier quart IVe s)



Fig. 5/2. Martolet. A droite, la façade de la première église. Le premier couloir d'accès se situait à la base des lesènes et était horizontal.



Fig. 5/3. Martolet. Coupe schématisique nord-sud montrant l'importance du dénivelé entre le sol de l'église, le couloir d'accès et l'épave au sud de l'église.

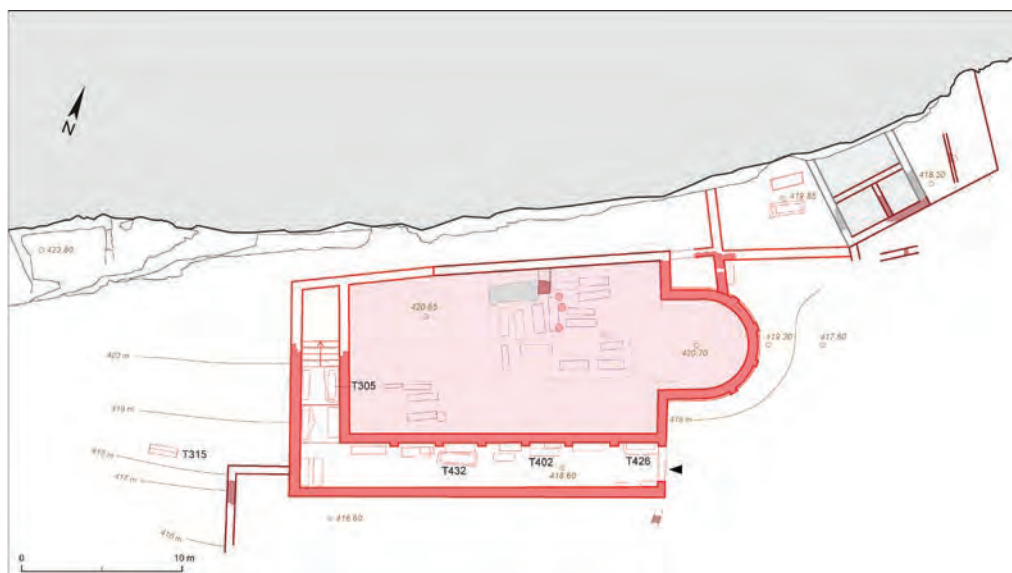


Fig. 5/4. Martolet. Plan de la deuxième église (début Ve s)



Fig. 5/5A. Martolet. Vue d'ensemble des deux premières absides. Vue face à l'est.



Fig. 5/5B. Martolet. Deuxième abside. Vue vers l'ouest.



Fig. 5/5C. Martolet. Deuxième abside. Vue vers l'ouest.

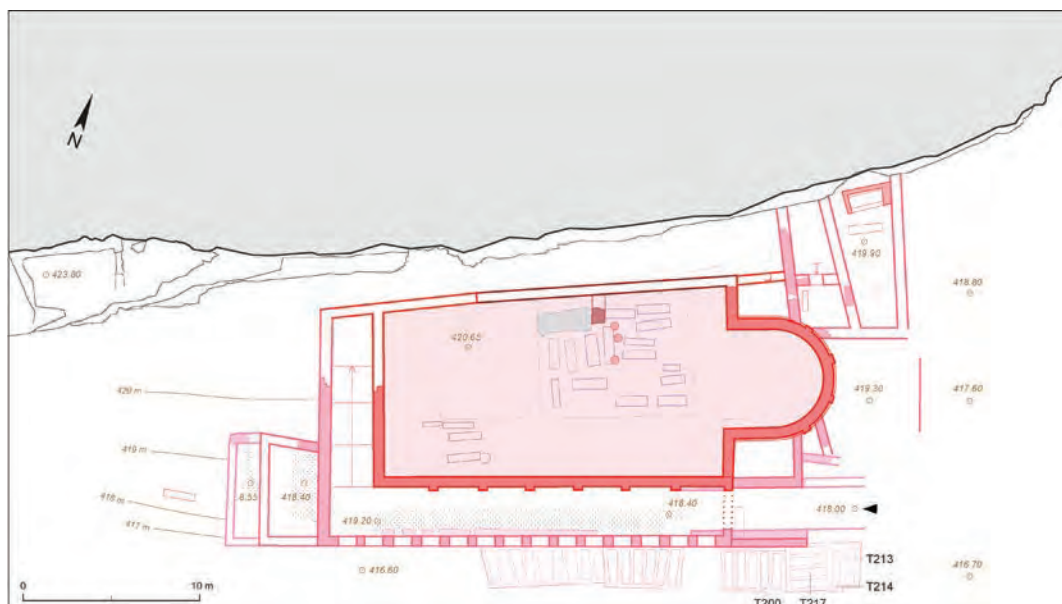


Fig. 5/6. Martolet. Plan de la deux ème église , transepts ornamations



Fig. 5/7. Martolet. Couloir d'accès de l'église rouge. Vue vers l'intérieur.



Fig. 5/8. Martolet. Couloir d'accès de l'église rouge : façade bâtie par la tête du couloir des catacombes. Vue vers le nord-est.



Fig. 5/9. Martolet. Caveau funéraire adossé à la deuxième abside et au rocher. Vue vers le nord-ouest.

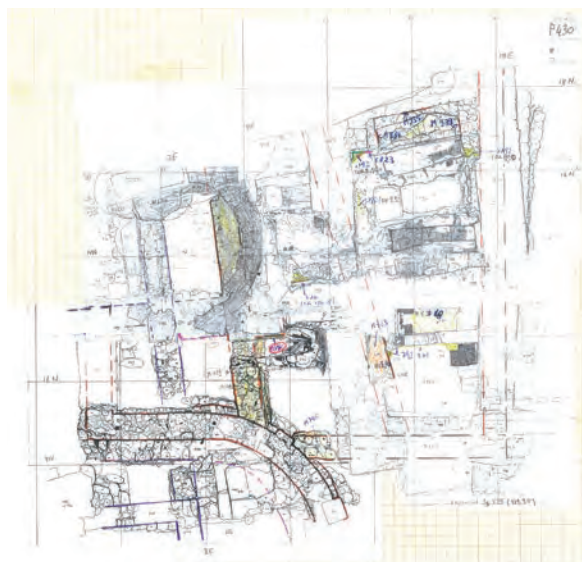


Fig. 5/10. Martolet. Caveau funéraire adossé à la deuxième abside et au rocher. Relevé.

Fig. 5/11. Martolet. Couloir d'accès de l'église rouge. Vue vers l'ouest.



Fig. 5/12A. Martolet. Annexe dentale adossée au couloir d'accès de l'église rouge. Vue vers le nord.



Fig. 5/12B. Martolet. Annexe dentale adossée au couloir d'accès de l'église rouge. Détail vu vers le nord, avant démontage du mur moderne au sud.



Fig. 5/13. Martolet. Vestibule de l'annexe occidentale. Vue vers le nord.



Fig. 5/14. Martolet. Epaulement nord des deux premières absides (façade intérieure).



Fig. 5/15. Martolet. Epaulement sud des deux premières absides (façade intérieure).

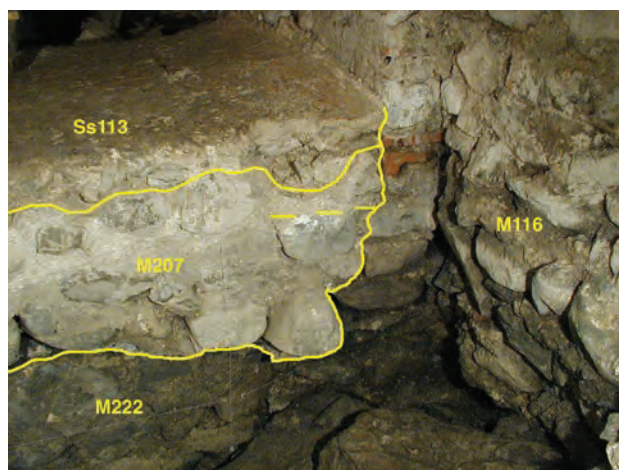


Fig. 5/16A. Martolet. Couloir d'accès des deux premières églises : fondations du seuil des phases rouge I et rouge II. Vue vers l'est.

La lésène d'angle de la nef (à droite) est liée avec la fondation du couloir d'accès (M222). Le premier seuil (Rampe I, indiqué par un trait tiré) a été remplacé par une fondation (M207) qui devait soutenir le second seuil (Rampe II). Un abaissement du niveau lors du prolongement du couloir d'accès (sol Ss115-Rampe IVA, puis sol Ss113-Rampe VI), a fait disparaître le seuil. À droite, le mur de la sacristie (M116).



Fig. 5/16B. Martolet. Couloir d'accès des trois premières églises lors des fouilles de Blondel. ASM.



Fig. 5/16C. Martolet. Couloir d'accès des trois premières églises après les fouilles de Lehner.



Fig. 5/16D. Martolet. Couloir d'accès des trois premières églises après le démontage de la dalle du plafond et le nivellement du terrain (2004).



Fig. 5/17. Martolet. Couloir d'accès de l'église rouge. Vue vers l'ouest. Les deux grandes dalles ont été mises au jour dans le coude du couloir. Elles sont posées sur des tombes remblayées et servent de radier au sol en mortier (S¹⁵). A droite, le muret construit au XXe siècle, lors de l'aménagement du parois de visites.

Fig. 5/18A. Martolet. Couloir d'accès de l'église rouge.

Paroi ajourée du couloir d'accès (Rampe III). Les 14 baies ont été obturées dans un deuxième temps. Des banquettes maçonnées autrefois recouvertes d'une planche permettaient de passer (Rampe IVA).





Fig. 5/18B et C. Martolet. Couloir d'aè s de l'église rouge.
 Faè ek érieure de deux des piliers é parant les baies de la paroi ajourée (Rampe III).
 A : traè s de o uler obs è ré es s r la faè ek érieure des piliers. La bande è rtiè le de o uler rouge orangé è s bordée d'une ligne jaune et blanc qui imitait peut-être le v lume d'une o lonne.
 B : Les bords de la bande è ntrale étaient traè s dans le mortier frais

Fig. 5/19. Martolet. Sacristie adossée à la deuxième ab s de (rouge II). Vue faè à l'è s .



Fig. 5/20. Martolet. Sacristie s d, adoé e à la deux è me ab s de (rouge II). Parement intérieur du mur oriental, aç c re s ut horiè ntl. Au premier plan, la maç onnerie arasé e plus anc è nne M905. Vue è rs l'è s .

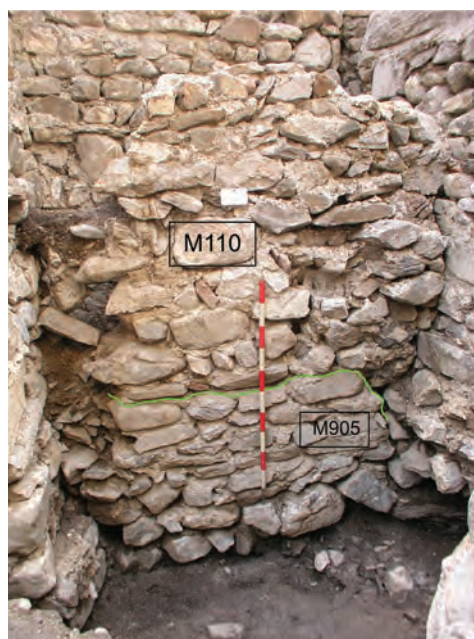


Fig. 5/21. Martolet. Mur adoé à la sacristie s d et fondé sur la maç onnerie arasé e plus anc è nne M905. Faè nord.

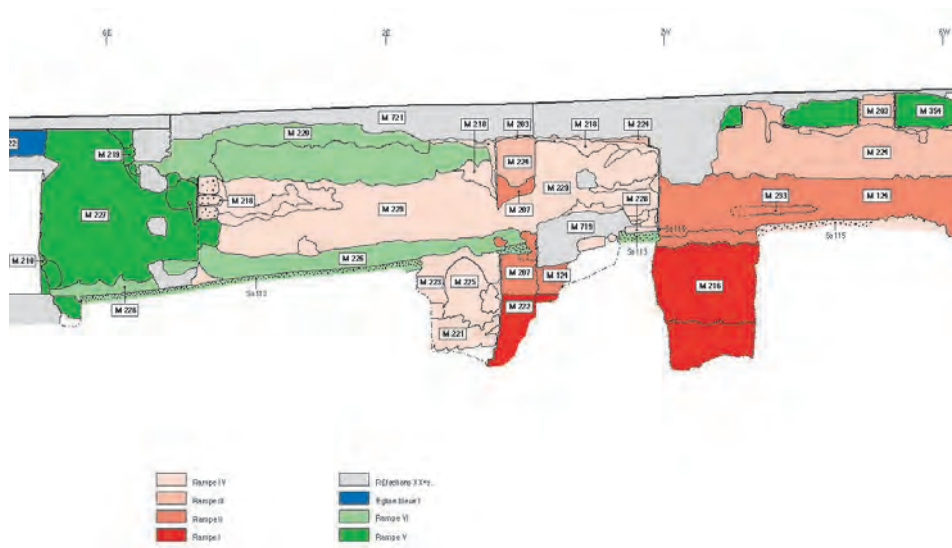


Fig. 5/22. Martolet. Couloir d'aè s de l'église rouge. Analyse de la paroi s d (détail de la n e d'entrée). Tera 2003.

Fig. 5/23. Martolet. Couloir d'aè s de l'église rouge. Renforcement des maçonneries par un doublage s riant d'appui à une vûte (faç nord du ouloir). Tera 2003



Fig. 5/24. Martolet. Couloir d'aè s de l'église rouge (faç s d du ouloir). Doublage de maçonnerie poé s r un voûtain (pour épargner une tombe ?) (Rampe IVB). Le voûtain coffré (M223) est posé sur une fondation o ntinue (M221). Derrière le vûtain, apparaît le mur (M225) o n s ruit lors du premier rallongement du couloir (Rampe IVA). Tera 2003



Fig. 5/25. Profils des remblais redressant le talus à l'est des deux premières absides (phases rouges). A l'arrière-plan, la troisième abside (phases s rtes). Vue s r l'est. Tera 2004



Fig. 5/26A. Le talus redressé à l'est des premières absides. La surface en pente recouverte de mortier fué (Sc524) correspond au niveau de travail en relation avec le maçonnerie. L'alignement de gros blocs (St669) apparaît lors de la construction de la première abside (rouge I). Vue vers le nord-est. Tera 2004

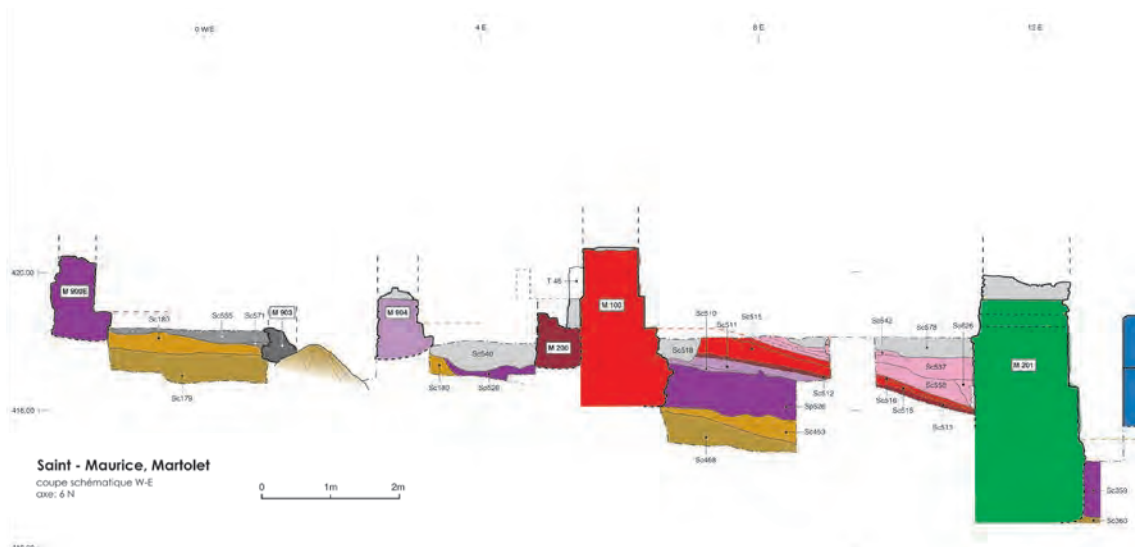


Fig. 5/26B. Martolet. Le talus redressé à l'est des premières absides (rouge et rose). Interprétation architecturale de la photographie. Vue nord.



Fig. 5/27A. Martolet. Le talus redressé à l'est des premières absides. Le pavement (A) posé dans une bauge d'argile constitue le dernier niveau au-dessus de l'extérieur des deux premières absides ; il est antérieur à la troisième abside (B, phase ultérieure). Vue vers le nord. Tera 2004

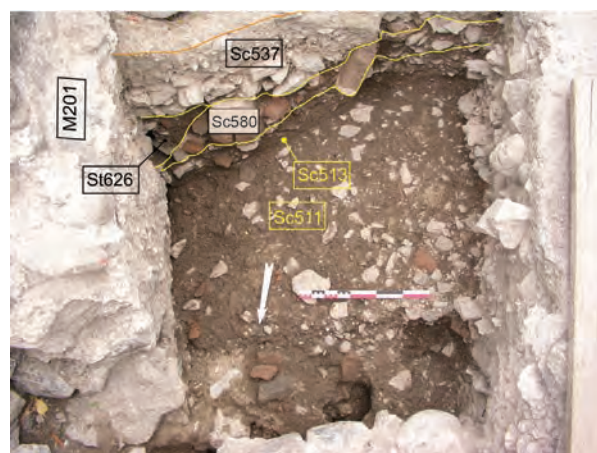


Fig. 5/27B. Martolet. Le talus redressé à l'est des premières absides. La fosse St626 est probablement le reste de la tranche de fondation d'un mur de terrasse antérieur à la troisième abside (M211) et oblitéré par elle-même.



Fig. 5/28. Martolet. Annexe funéraire au pied du rocher, vue vers le nord-est. La sépulture (T323), peinte en rouge hématisse, est insérée entre deux tombes plus anciennes : la tombe à dalle T461 et la tombe maçonnée T324 ouverte par deux grandes dalles de bois noir. A) amorce de vestibule ; B) piédroit d'une abside.



Fig. 5/29. Martolet. Annexe funéraire au pied du rocher. Détail de la tombe T324. Le squelette était presque entièrement réduit en miettes. Vue vers l'est.



Fig. 5/30. Martolet. Couloir d'accès de la 2e église (phase rouge II) : tombe en pleine terre T403. Vue vers le nord-ouest.



Fig. 5/31. Martolet. Couloir d'accès de la 2e église (phase rouge II) : offrande en bois T431, T432. Vue vers le nord-ouest.



Fig. 5/32. Martolet. Couloir d'accès de la 2e église (phase rouge II) : offrande en bois et dalle T437. Vue vers le nord-ouest. Les os longs et le petit os de la main sont formés par des planches calées avec des pierres ou noyées au mortier. Une dalle de sapin forme le petit os de la main. Des traces ligneuses témoignent d'une planche sous la queue. Les bourrelets en mortier qui servaient d'axe de réglage au moment de la mise en œuvre ont laissé l'empreinte en négatif d'une planche formant la structure.



Fig. 5/33. Martolet. Couloir d'accès de la 2e église (phase rouge II) : o ffre en dalles T420, u e rs le nord-ouest . Le e uelette était entièrement réduit en miettes



Fig. 5/34. Martolet. Couloir d'accès de la 2e église (phase rouge II) : o ffre T426 a c fond de tegulae, u e rs le nord. Le e uelette est pris e us une ma q nnerie qui double la fa q de des deux premières église s



Fig. 5/35 et 36. Martolet. Couloir d'a è s de la 2e église (phase rouge II) : o ffre en tuiles T436, u e rs le s d-ouest . Les rebords des tuiles des quatre ô tés ont tournés e rs l'ex érieur, et e lles du fond e rs le haut. Du mortier au tuileau jointo e les dalles de o ue rture du o ffre.



Fig. 5/37. Martolet. Couloir d'accès de la 2e église (phase rouge II) : coffre T305 de forme anthropomorphe, u e rs le nord-est . Le resserrement de la niche céphalique est constitué d'une o a ture en bois c épie.



Fig. 5/38. Martolet. Aire funéraire en contrebas du couloir d'accès de la 2e église (phase rouge II): croix de consécration gravée dans le cèpi (T214).
Vue vers le nord-ouest.



Fig. 5/39. Martolet. Aire funéraire en contrebas du couloir d'accès de la 2e église (phase rouge II) : le groupe de blocs maçonnés est antérieur au premier rallongement du couloir. Vue vers le nord.



Fig. 5/40. Martolet. Aire funéraire en contrebas du couloir d'accès de la 2e église (phase rouge II) : groupe de coffres en tuiles et maçonnerie (T200 et T218). Vue vers le nord-ouest.



Fig. 5/41. Martolet. Aire funéraire en contrebas du couloir d'accès de la 2e église (phase rouge II) : détail de la tombe T200 contenant les restes d'une inscription en lettres capitales peintes en rouge sur le cèpi blanc. Vue vers le nord-ouest.



Fig. 5/42. Martolet. Aire funéraire en contrebas du couloir d'accès de la 2e église (phase rouge II) : tombes T207 - T226 durant la fouille en 2013. La zone est aujourd'hui inondée par l'eau de la nappe. Vue vers le nord-ouest.



Fig. 5/43. Martolet. Aire funéraire en o ntrebas du o loir d'aè s de la 2e église (phae rouge II) : tombes T206 - T207 durant la fouille en 2011. Certaines tombes ont été réutilisées comme ossuaires probablement lors de l'aménagement des premiers drainages (fin XIXe / début XXe siècle). Vue vers le nord-ouest.



Fig. 5/44. Martolet. Aire funéraire en o ntrebas du couloir d'aè s de la 2e église (phae rouge II) : tombes T201 - T203 - T202 durant la fouille en 2011. Les murets latéraux des o ffres ont adossés à la fondation du mur o utenant le o loir d'aè s de l'église. Vue vers l'ouest.

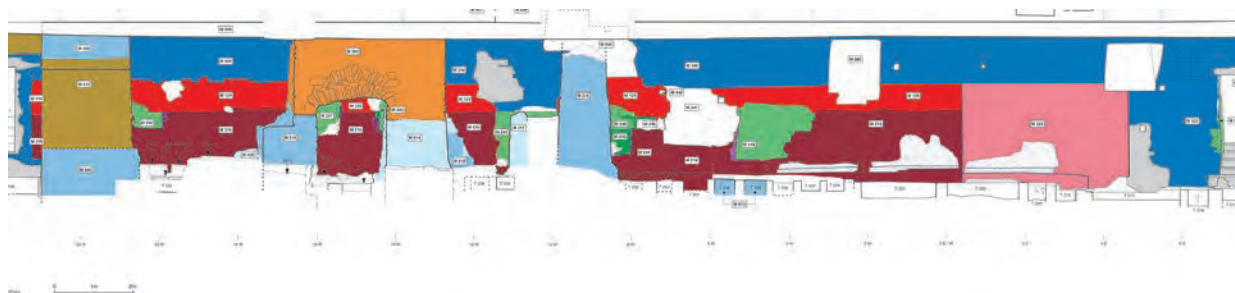


Fig. 5/45. Martolet. Couloir des a tao mbeş analp de la paroi nord. Tera, analyse 2005
Tronçon correspondant à l'élévation du mur o utenant le o loir d'aè s des deux premières églises (phaes rouge I et rouge II).



Fig. 5/46. Martolet. Nef de la 1e église (phae rouge I) : o ffre maçonné o ntre un o ffrage de bois (T411). Vue vers le sud-ouest.

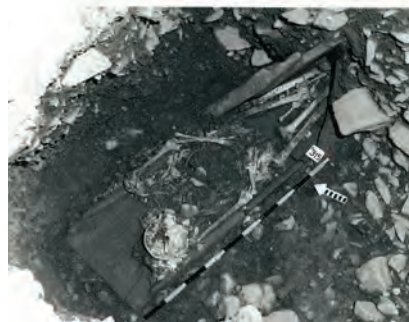
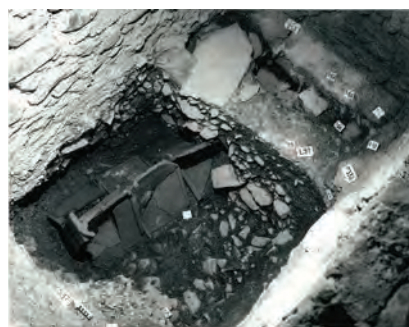


Fig. 5/47. Martolet. Espace à l'ouest des deux premières églises (phae rouge II) : o ffre de tuiles en bâtière (T315), u vers le nord.
A : tombeau fermé ; B : partiellement ouvert. (Lehner 1996).

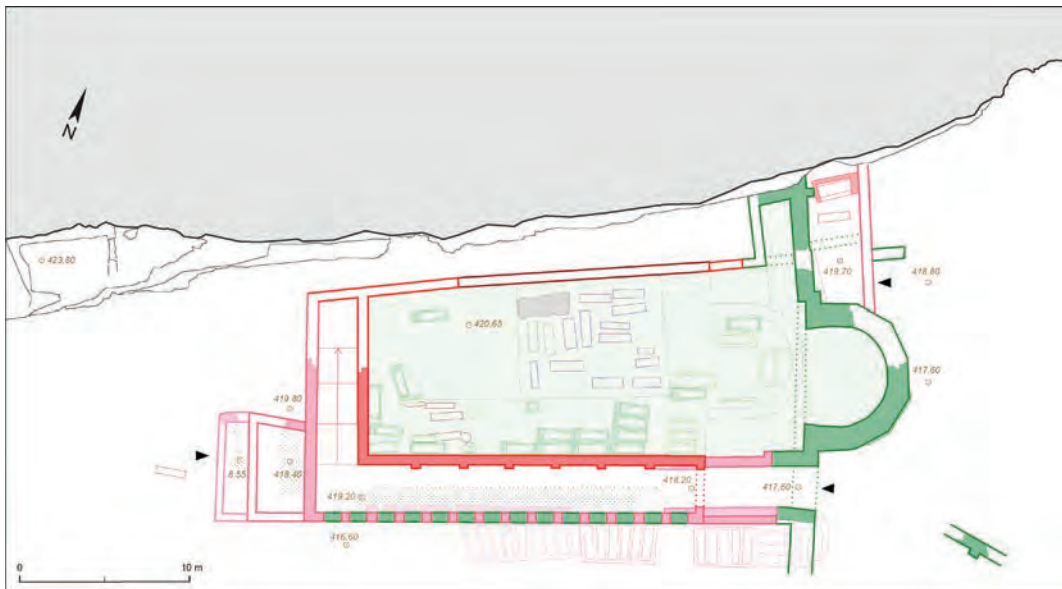


Fig. 6/1. Martolet. Plan de la troisième église (VI à VIII siècles).

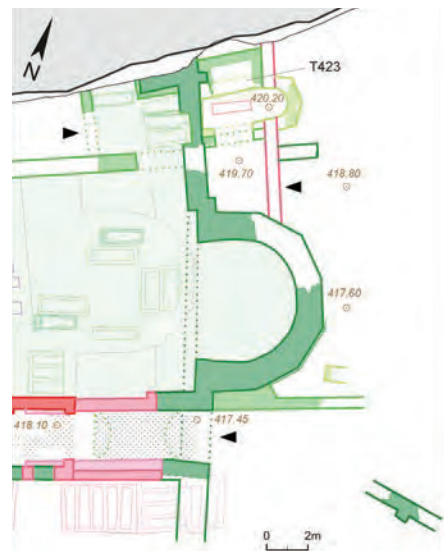


Fig. 6/2. Martolet. Plan de la troisième église (phase de construction).



Fig. 6/3A. Martolet. Chevet polygonal de la troisième église. Vue vers l'ouest.



Fig. 6/3B. Martolet. Construction de la chapelle funéraire au pied du chevet. En vert, les maçonneries appartenant à la troisième église. Vue vers le nord-ouest.



Fig. 6/4. Martolet. Abside polygonale de la troisième église, avec rampe d'accès adjacente. Vue vers l'ouest, 2010.



Fig. 6/5. Martolet. Idem figure précédente, lors des fouilles de Blondel. (ASM)



Fig. 6/6. Martolet. Chevet polygonale de la troisième église, avec rampe d'accès adjacente. Vue vers l'ouest, 2010.

Fig. 6/7. Martolet. Rampe d'accès, paroi nord, prolongement pour la troisième église. Vue vers le nord-ouest, 2004.





Fig. 6/8. Martolet. Abside de la troisième église, face intérieure. Vue vers le sud-est, 2004. Sous l'alignement de trous de boulon et le ressaut, la maçonnerie est constituée de notre terre du ôté intérieur, et en élévation du ôté extérieur.



Fig. 6/9. Martolet. Abside de la troisième église, épaulement nord construit contre terre, 2005. Face intérieure, vue vers le nord-ouest.



Fig. 6/10. Martolet. Abside de la troisième église, épaulement sud construit hors sol, 2005. Face intérieure, vue vers le sud-est.



Fig. 6/11. Martolet. Annexe funéraire nord, détail de la sépulture T323 et de la paroi orientale du loculus I. Vue vers le nord-est. (cf. description de la fig. 5/28)



Fig. 6/12. Martolet. Annexe funéraire nord. La sépulture T323 est aménagée entre les tombes T324 (à gauche) et T461 (à droite). Vue vers le sud-ouest.

Fig. 6/13. Martolet. Annexe funéraire nord. Détail de la sépulture T323, vu vers le nord-ouest. Le fond est constitué de carreaux de terre cuite, la niche céphalique carrée légèrement surélevée.



Fig. 6/14. Martolet. Annexe funéraire nord. Détail de la sépulture T323 (paroi nord, avec épaulement de la niche céphalique). Vue vers l'ouest.

Fig. 6/15. Martolet. Annexe funéraire nord, tombe T323. Fragments de décor pictural issus du remblai (K661-001).





Fig. 6/16A. Martolet, tombes de l'annee funeraire nord-est (T320, T321, T425). Vue vers le sud, 2005.



Fig. 6/17. Martolet, sarcophage en grès coquillier (T307). Vue vers l'ouest. Fouilles Lehner.



Fig. 6/16B. Martolet, tombes de l'annee funeraire nord-est. Vue vers l'est, 2005.
De gauche à droite : la tombe T320, puis la tombe double T321-T425.

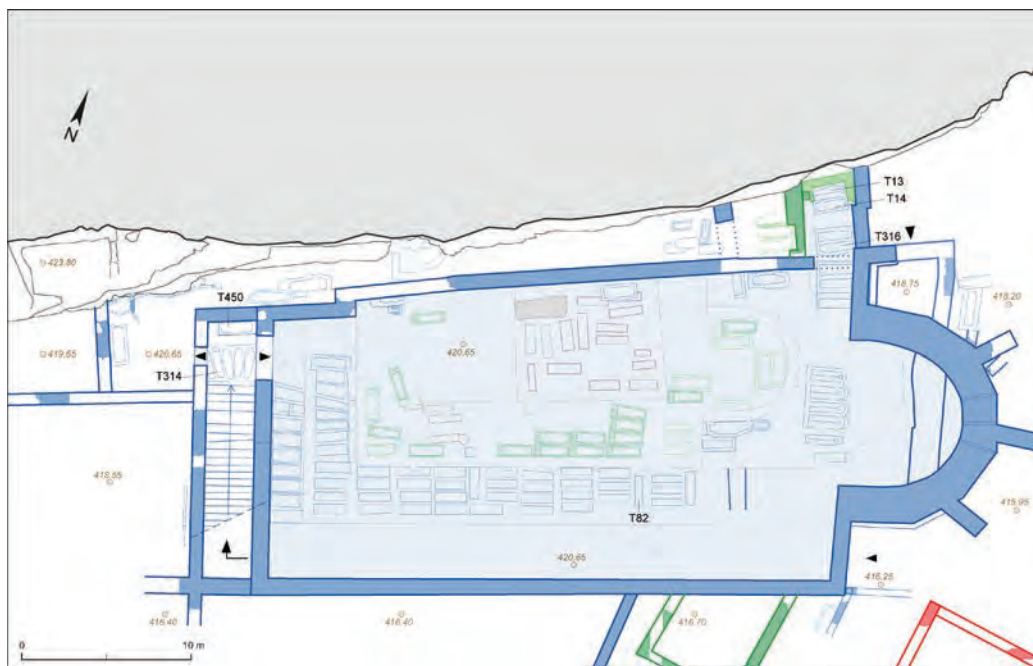


Fig. 7/1. Martolet. Plan de la quatrième église, niveau de la nef (fin du VIe siècle).

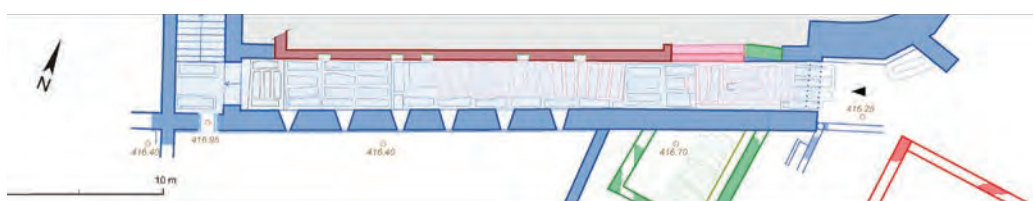


Fig. 7/2. Martolet. Plan de la quatrième église, niveau du couloir d'accès.



Fig. 7/3. Martolet. Couloir d'accès passant sous la nef de l'église, couloir des catacombes avec arc romain en remploi. Vue vers l'ouest.



Fig. 7/4A. Martolet. Couloir des catacombes, portail occidental (piédroit sud, avec base d'un portique adossé). Vue vers le sud.



Fig. 7/4B. Martolet. Couloir des catacombes, portail occidental (piédroit sud, détail). Vue vers le sud-ouest.



Fig. 7/4C. Martolet. Couloir des catacombes, portail occidental (piédroit nord). Vue vers l'ouest.



Fig. 7/5A et B. Martolet. Pan sud de la quatrième abside, socle en saillie de la façade avec détail de la banquette. Vues vers le nord.



Fig. 7/6A et B. Martolet. Chevet de la quatrième église (niveau des catacombes), contrefort sud avec détail. Vues vers le nord-est.



Fig. 7/7A et B. Martolet. Couloir des catacombes, piédroits de l'arc occidental. Vues vers l'ouest.

Fig. 7/8. Martolet. Couloir des catacombes, sous-sol funéraire, avant son remblaiement (fouilles 2005).



Fig. 7/9. Martolet. Couloir des catacombes, détail de la voûte.

Fig. 7/10. Martolet. Ex rados de la voûte du couloir des catacombes. Vue vers le sud-ouest.



Fig. 7/11. Martolet. Façade sud de la quatrième église, avec fenêtre du couloir des catacombes (bâtiment actuel, cave 3).



Fig. 7/12. Martolet. Façade sud de la quatrième église, avec fenêtre du couloir des catacombes (bâtiment actuel, cave 2).



Fig. 7/13. Martolet. Paroi sud du couloir des catacombes, détail d'une fenêtre. Vue vers le sud-est.



Fig. 7/14. Martolet. Pavage (Ss583) mis au jour dans un sondage devant la façade sud de la quatrième église, sous le revêtement en briques de la cave actuelle (cave 3, fouilles 2005). Vue vers le nord-ouest.



Fig. 7/15. Martolet. Les deux escaliers successifs à l'ouest de l'église (vue vers le sud-est).
a) escalier restitué des premières églises ; b) paroi crépie du grand escalier, avec négatifs des marches (4e et 5e église) ; c) maçonnerie de la crypte condamnant l'escalier (6e église).



Fig. 7/16. Martolet. Quatrième église, détail de l'escalier monumental (paroi est). Vue vers le sud-est.



Fig. 7/17. Martolet. Quatrième église, détail de l'escalier monumental (paroi est). Vue vers l'est.



Fig. 7/18. Martolet. Quatrième église, façade ouest de la cage d'escalier, vue vers l'est. Extrémité nord (sans fondation) du mur conservé: un ressaut horizontal délimite la fondation dont la profondeur augmente vers le sud.



Fig. 7/19. Martolet. Quatrième église, façade ouest de la cage d'escalier. Partie sud du mur conservés en élévation, avec ressaut de fondation et canalisation ouverte. Le crépi recouvre une finition de type *rasa - pietra*. Vue vers l'est.



Fig. 7/20. Martolet. Quatrième église, espace à l'ouest de la cage d'escalier. Détail de la canalisation et des vestiges de sol en mortier. Vue face au nord-ouest.



Fig. 7/21. Martolet. Quatrième église, espace au nord-ouest de la cage d'escalier, avec puits perdu au pied du rocher. Vue vers le nord-est.



Fig. 7/22. Martolet. Puits perdu au pied du rocher. Détail pris au début de la fouille du puits. Vue vers le nord-est.



Fig. 7/23. Martolet. Puits perdu au pied du rocher. Après vidange des remblais. Vue face au nord-est.



Fig. 7/24. Martolet. Détail de la canalisation. Jonction d'une conduite latérale capant l'eau ruisselant d'une faille du rocher. Vue face au sud-ouest.



Fig. 7/25. Martolet. Détail de la canalisation. Vue vers l'ouest.

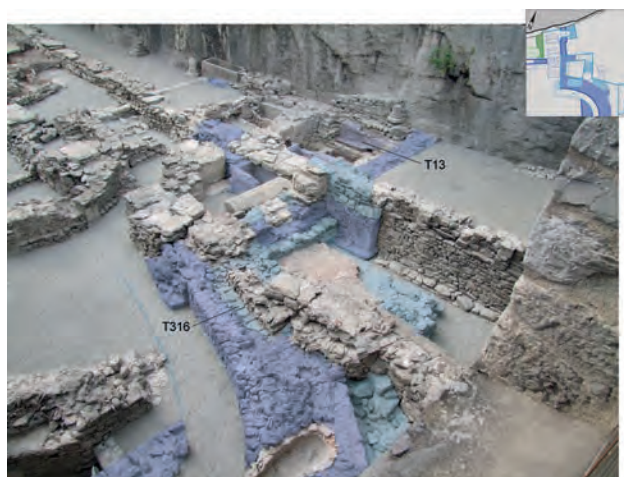


Fig. 7/26. Martolet. Annexe funéraire au pied du rocher. Maçonneries appartenant à la quatrième (bleu foncé) et cinquième églises (bleu clair I). Vue vers l'ouest.



Fig. 7/27A. Martolet. Sol de la nef en grandes dalles de marbre blanc. Vue vers l'est, fin XIXe siècle. (ASM)



Fig. 7/27B. Martolet. Sol de la nef. Dalles de marbre blanc couvrant les tombes du mausolée. Vue vers le nord-ouest.



Fig. 7/28. Martolet. Fouille des tombes aménagées dans la nef, dans les remblais qui comblaient l'ancienne rampe d'accès. Vue vers l'est, vers 1947. (ACVS, fonds Blondel D23 – 1968/19, no1)



Fig. 7/29. Martolet. Tombe T82 (partie sud de la nef). Vue vers l'est. Inscription en lettres onciales et capitales, peinte en noir sur le crépi. (ASM, Bourban, septembre 1902)



Fig. 7/30. Martolet. Tombe T79 ou T80 (partie sud de la nef). Croix pattée inscrite dans un cercle, peinte sur le crépi. Le dessin préparatoire du cercle, gravé dans le crépi, est parfaitement visible. (ASM, Fouilles Bourban, juillet 1903)



Fig. 7/31A. Martolet. Tombes jumelles T15-T316 (annexe nord). Le petit côté occidental est décoré d'une croix. Vue vers l'ouest.



Fig. 7/31B et C. Martolet. Tombe T316, détail de la croix.ouest. Vues vers l'ouest .



Fig. 7/31D Martolet. Tombe T316, relevé. La croix a été peinte en commençant par le croisillon horizontal. Les traits de pinceau recouvrent le dessin préparatoire incisé dans le crépi. VIIe siècle, hauteur de la croix 37 cm.



Fig. 7/32A. Martolet. Annexe nord, inscription funéraire de l'évêque de Sion Vultcherius lors de sa découverte (vue vers l'est, 1897). La dalle couvrait le sarcophage (T14, à droite) et la tombe maçonnée contiguë (T13). (ASM, Bourban, mai 1897)



Fig. 7/32B. Martolet. Annexe nord, sarcophage romain en remploi (T14) lors de sa découverte (vue vers le sud, 1897). Aujourd'hui, il est exposé dans le vestibule de l'abbaye. (ASM, Bourban, mai 1897)



Fig. 7/33. Martolet. Couloir des catacombes, tombe T220 adossée à la paroi nord. Remplace trois tombes orientées perpendiculairement, auxquels appartiennent les dalles du fond. Vue vers le nord-ouest .



Fig. 7/34A. Martolet. Couloir des catacombes, tombe T227 adossée à la paroi sud. Le couvercle était affaissé. Vue vers le sud-ouest.



Fig. 7/34B. Martolet. Couloir des catacombes, tombe T227 adossée à la paroi sud. Restes de deux squelettes. Vue vers le sud-ouest.

Fig. 7/35. Martolet. Couloir des catacombes, groupe de tombes T209 à 212 à l'extrémité est du couloir. Vue vers le nord-est.





Fig. 7/36A. Martolet. Cage d'escalier, groupe de tombes du palier supérieur (T314). Vue vers le nord.



Fig. 7/36B. Martolet. Cage d'escalier, groupe de tombes du palier supérieur (T314), détail des parois. Vue vers l'ouest.



Fig. 7/37. Martolet. Cage d'escalier, tombe « hors-sol » du palier supérieur (T450). Vue vers l'est.



Fig. 7/38. Martolet. Espace funéraire au pied du rocher, tombe (T140) adossée au pied de la façade nord de l'église. Vue vers le sud.



Fig. 7/39. Martolet. Espace funéraire au pied du rocher, tombes T144 et T302. Vue vers l'ouest.

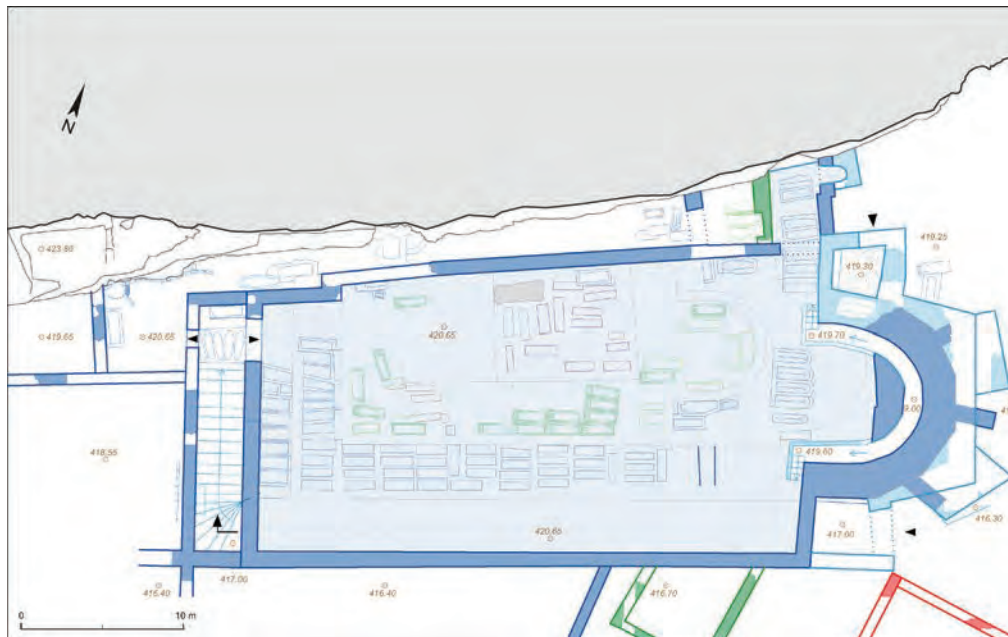


Fig. 8/1. Martolet. Plan de la huitième église, niveau de la nef et crypte (VIII^e siècle).

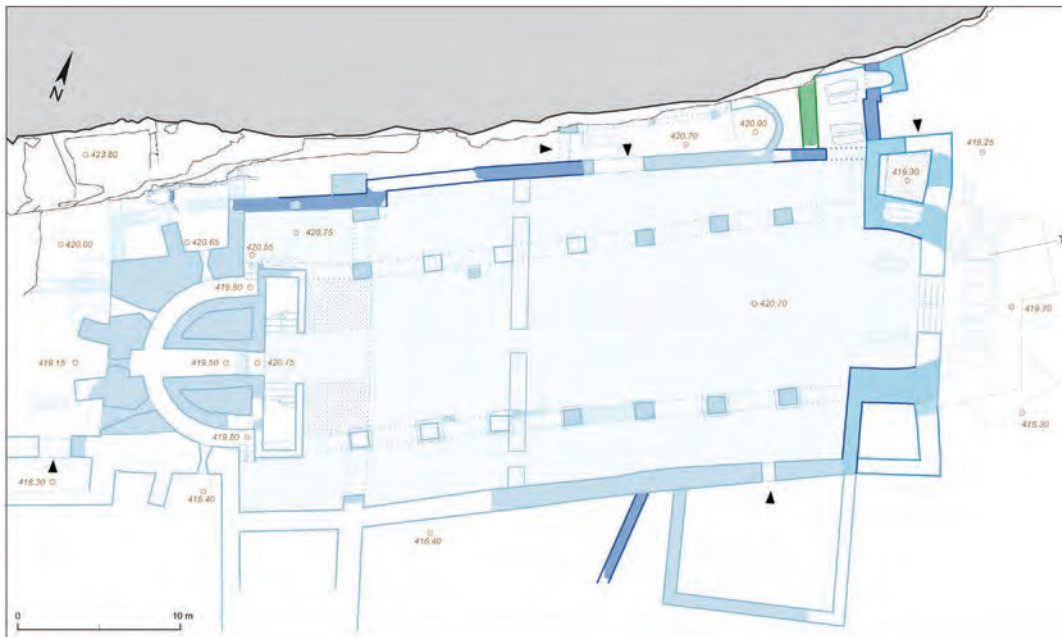


Fig. 8/2. Martolet. Plan de la neuvième église, niveau de la nef et crypte (IX^e siècle).

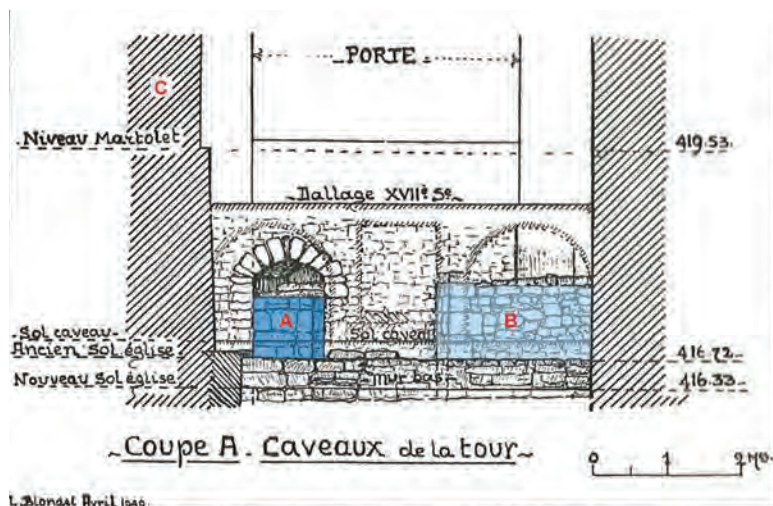


Fig. 8/3. Martolet. Clocher, coupe nord-sud au niveau du sous-sol (baptistère actuel). Vue ouest.
A) contrefort du chœur (4^e église) ; B) piédroit plus récent (5^e église) ; C) clocher roman. BLONDEL 1950, fig. 2, p. 171.



Fig. 8/4. Martolet. Annexe nord de la cinquième abside (sol Ss117). Vue vers le sud.



Fig. 8/5. Martolet. Couloir des galeries. Vue vers l'ouest.

A) couloir d'accès de la 4e église ;
 B) piédroit du portique soutenant l'annexe nord de la 5e abside (le trait indique le niveau au-dessus de l'entrée établie à cette époque) ;
 C) bases rupestres des piliers du narthex au latéral de la 6e église au chevet occidental.



Fig. 8/6. Martolet. Couloir des galeries. Vue vers l'est.



Fig. 8/7. Martolet. Extrémité orientale du couloir des galeries. A) contrefort du cœur (4e église) ; B) élargissement du contrefort (5e église) ; C) épaulement nord du chevet roman. Vue vers le nord-ouest.



Fig. 8/8. Martolet. La crypte orientale mise au jour par le baron Bourban. Le décor pictural des parois imite des plaques de marbre (5e église). Vue vers l'ouest, en 1907. (ASM)



Fig. 8/9. Martolet. Crypte orientale. Escalier nord, vu vers le sud, en 1907. (ASM)



Fig. 8/10 Martolet. Crypte orientale. Décor pictural de paroi intérieure, dont la maçonnerie double la troisième abside. Vue vers le nord, en 1907. (ASM)

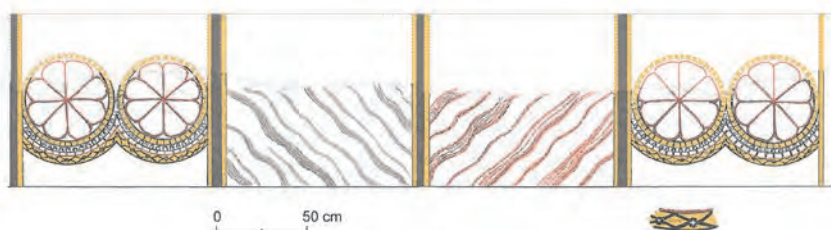


Fig. 8/11 Martolet. Crypte orientale, relevé du décor d'après Blondel. BLONDEL 1963, p. 63.



Fig. 8/12. Martolet. Vestiges du chevet occidental (6e siècle). Vue vers le sud-est.



Fig. 8/13. Martolet. Façade sud du chevet occidental, documentée en 1906, lors de la construction de l'ancien bâtiment à eau. Vue vers le nord. (ASM)



Fig. 8/14. Martolet. Angle sud-ouest du chevet occidental. Vue vers le nord-ouest, en 1906. (ASM)



Fig. 8/15. Martolet. Couloir des deux murs transversal soutenant le transept de la sixième église. Le passage a été percé probablement au XVIIIe siècle. Vue vers l'ouest.



Fig. 8/16. Martolet. Crypte occidentale. Vue vers l'est, en 2010.



Fig. 8/17. Martolet. Crypte à oculus dentale, déviation de l'escalier nord lors des fouilles du chanoine Bourban. Vue vers le nord-est, en 1906. (ASM)



Fig. 8/18. Martolet. Crypte à oculus dentale, partie nord du oculus semi-circulaire. Vue vers le sud-ouest.



Fig. 8/19A. Martolet. Détail du tombeau-reliquaire. Vue vers le sud-est.

a) arrosage ; b) fenestella murée de l'arcosolium ;
c) altitude du sol primitif ; d) oculus en terre cuite ;
e) niche latérale.



Fig. 8/19B. Martolet. Détail du tombeau-reliquaire. Vue vers l'est.



Fig. 8/19C. Martolet. Exados de l'arcosolium (à gauche), et négatif de la dalle de sol de la fenestella (à droite). Vue vers le nord-ouest.



Fig. 8/20A. Martolet. Crypte occidentale (6e église). Vue vers le nord-ouest.



Fig. 8/20B. Martolet. Maçonneries du chevet occidental (6e église) chevauchant les restes de l'ancienne cage d'escalier arasée. Vue vers le nord.

A) façade crépie de la cage d'escalier, avec ressaut de fondation (A1) et canalisation ouverte (A2) ;
B1) et B2) crypte du chevet occidental, avec sa fondation et son élévation.

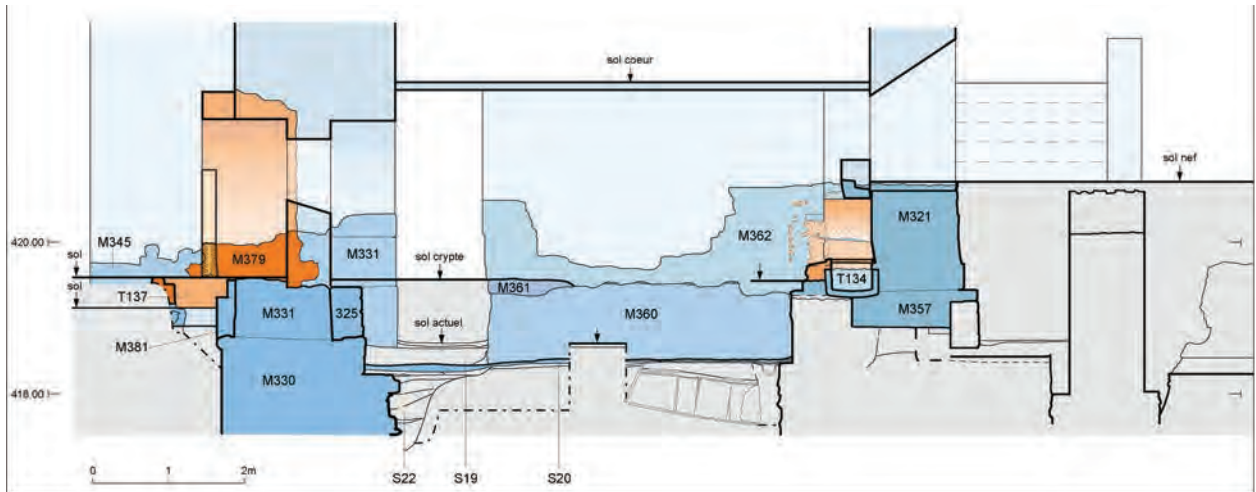


Fig. 8/21. Martolet. Coupe longitudinale du chevet occidental (vue nord). L'abside et la crypte font partie du même bâtiment mis en œuvre en deux étapes (en plus clair, les parties restituées).

1e étape : fondations de l'abside (M330 et M331), avec fosse de construction (S22) et contrefort (M345) ; niveau de travail horizontal à l'intérieur de l'abside (S20) ; fondations des couloirs (M360) et surélévation du terrain (Sc19) jusqu'au niveau prévu pour le sol. Une bande de mortier au tuileau étanche (M361) protège les fondations et indique un arrêt de bâtiment.

2e étape : remblaiement de l'ancienne cage d'escalier et pose du tombeau (T134) sur une fondation (M357) ; parois de la crypte (M362 et M321) avec arcossolium (M333) et console (M363).

En orange, les transformations : une niche rectangulaire (M379) bordée d'une colonnette, et une tombe (T137) insérée dans la niche, entre les contreforts



Fig. 8/22. Martolet. Caves du bâtiment conventuel bordant le sud du Martolet : situation de trois façades orientées

A) façade des 4e et 5e églises, avec une fenêtre du couloir d'airs ;

B) voûte soutenant la façade de la 6e église ;

C) voûte soutenant l'annexe romaine adossée à la nef. Vue vers le nord.



Fig. 8/23. Martolet. Elévation sud du vaisseau central aujourd'hui partiellement conservée dans la façade du bâtiment conventuel. Vue vers le sud-ouest, Bernard Dubuis 1978.



Fig. 8/24A. Martolet. Elévation sud du vaisseau central (parties décrépies). Vue vers le sud-est, état 2010.

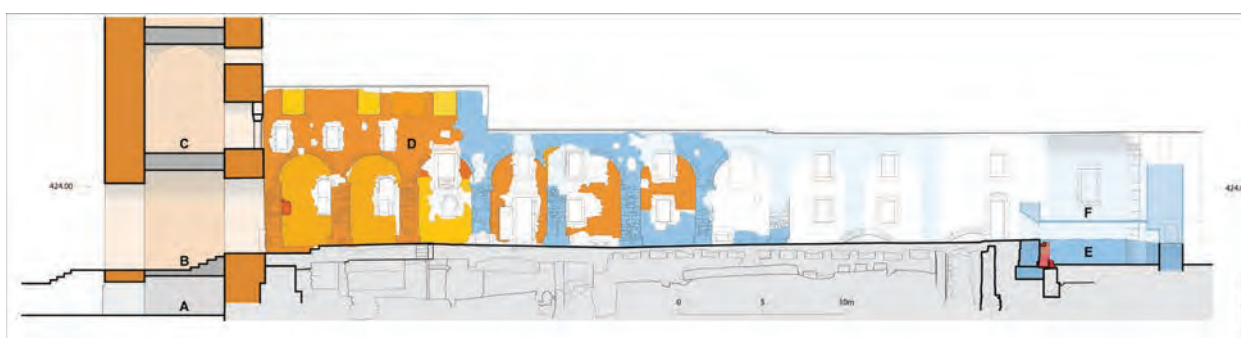


Fig. 8/24B. Martolet. Relevé schématisé de la façade sud. En bleu, l'église carolingienne (6e église), en orange, l'agrandissement à l'époque romane. Vue sud.
A) Sol de l'église et du baptistère actuels ; B) Sol restitué du porche roman (rez-de-bas au-dessus du clocher) ; C) Chapelle Saint-Michel ; D) élévation du vaisseau central ; E) crypte ; F) Sol restitué du cœur.



Fig. 8/25. Martolet. Couloir des arceaux soutenant les piliers des arcades sud du vaisseau central. Vue vers l'ouest.



Fig. 8/26. Martolet. Les vestiges au pied du clocher. Vue face à l'ouest.
A) base de la 4e église ; B) base de la 5e église ; C) couloir de la crypte orientale (5e église) ; D) tombes inhumées dans les bases arasées des 4e et 5e églises mais antérieures au clocher.

Fig. 8/27. Martolet. Sépulture (T29) faisant partie du groupe de tombes antérieures au clocher, vue vers l'est. Le coffre est entièrement en épi. Lors d'une deuxième utilisation, des *imbrices* ont été posés sur le fond (pour soutenir une planche mortuaire ?).



Fig. 8/29. Martolet. Sépultures faisant partie du groupe de tombes antérieures au clocher. Secteur nord, vue vers le sud.



Fig. 8/31. Martolet. Chevet occidental. Détail de la tombe nord-est, avec niche épiphallique (T451). Vue vers l'ouest.

Fig. 8/28. Martolet. Sarcophage (T30) disposé nord-sud, faisant partie du groupe de tombes antérieures au clocher. Vue vers le sud.



Fig. 8/30. Martolet. Chevet occidental. Les sépultures adossées à la façade occidentale ont été déposées sur deux nives. Vue vers le sud-est.





Fig. 8/32A. Martolet. Chevet occidental. La tombe orientée nord-sud (T136) recouvre une tombe double maçonnée avec fond en tegulae (T142-T143). Vue vers le nord.



Fig. 8/32B. Martolet. Chevet occidental. Détail de la tombe double (T142-T143) après agrandissement de la zone de fouille pour la consolidation de la clôture occidentale du site archéologique. Vue vers le sud.



Fig. 8/33. Martolet. Cimetière à l'ouest du chevet occidental, avec des sépultures datables entre le XIe et le XVIIe siècles. Vue vers le sud-est.

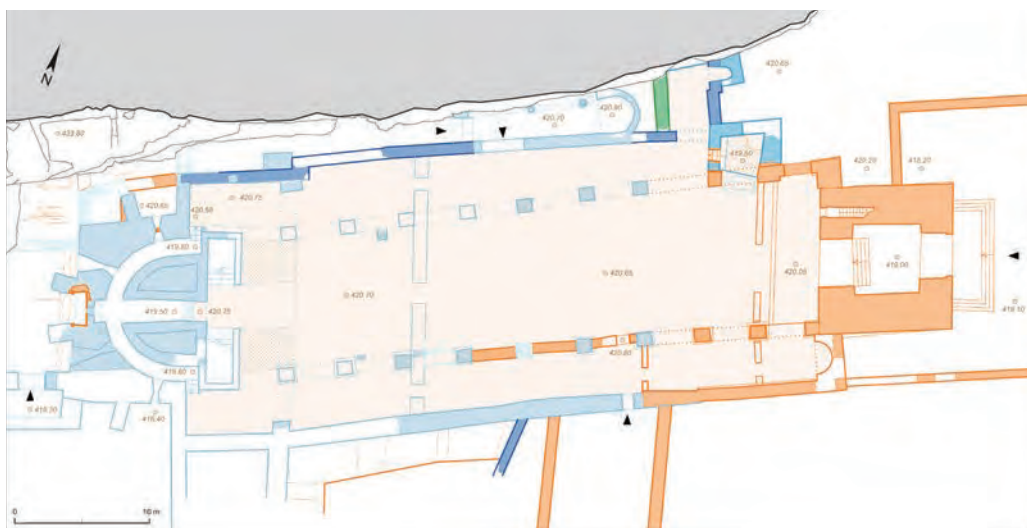


Fig. 9/1. Martolet, plan de la 12^e siècle, sans les chapelles nord (XII^e siècle).



Fig. 9/2. Martolet, plan de la 12^e siècle, après ajout des chapelles nord (XIII^e – XVI^e siècles).



Fig. 9/3. Façades du Martolet, au clocher et le reste des chapelles nord (à gauche). Vue vers l'est.

Fig. 9/4. Martolet. Clocher abbatial, relevé des plans d'étage et de la coupe nord-sud, dressé par l'ingénieur Jules Mibel, en 1900. (ASM)

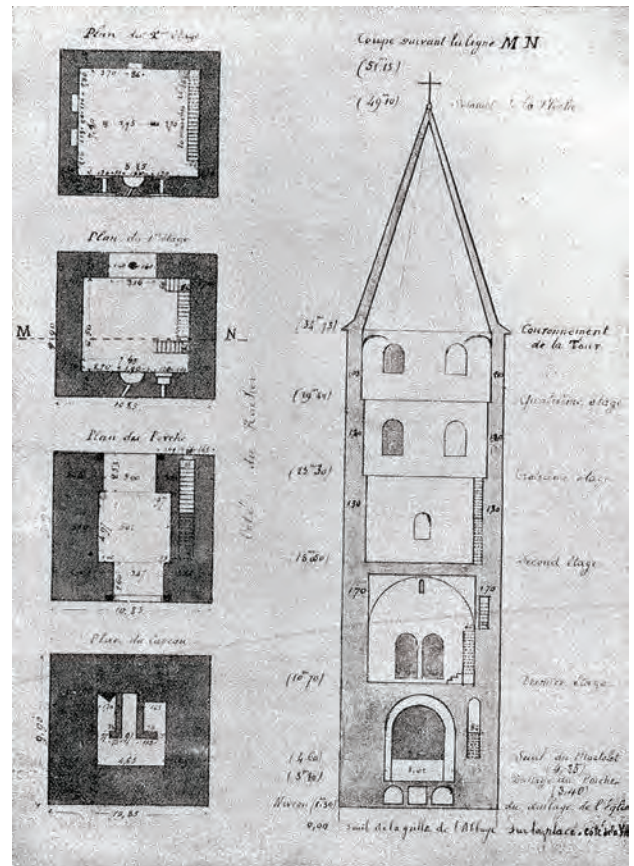


Fig. 9/5. Martolet. Coupe est-ouest sur l'axe longitudinal traçant le mur des maçonneries (à gauche), les absides des tours et les fondations du clocher (à droite). Vue nord.



Fig. 9/6. Martolet. Élévation sud du vaisseau central, avec les trois arcs romans ornés ruites en même temps que le clocher. Etat 2013.



Fig. 9/7A. Martolet. Élévation sud du vaisseau central, relevé archéologique. Les arcs des carolingiens (bleu clair) et romanes (orange) sont percés par les ouvertures de la façade baroque (blanc). A) Soubassement de l'église et du baptistère antérieurs ; B) Soubassement restitué du porche roman (rez-de-bas au-dessus du clocher) ; C) Chapelle Saint-Michel ; D) Élévation du vaisseau central ; E/F) porte surmontée d'une fenêtre ; G) ouverture remplaçant les trois fenêtres étroites

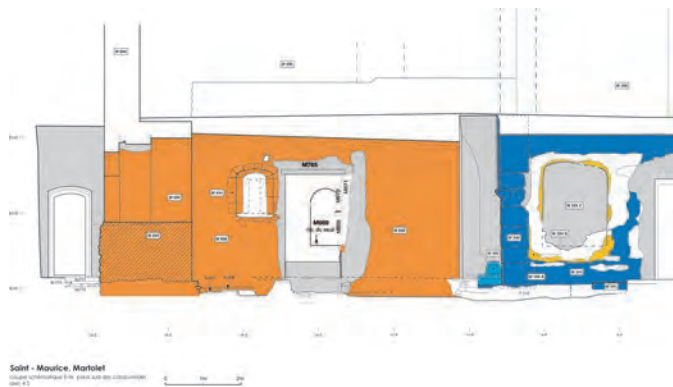


Fig. 9/7B. Martolet. Couloir des chapelles. Élévation sud du vaisseau latéral sud, relevé archéologique.

Fig. 9/8. Martolet. Chapiteau d'époque romane (XIIe siècle). Sur ses quatre faces est représenté un aigle aux ailes repliées, la tête penchée sur le jabot. Pierre de grès ; dimensions 32 par 38 cm ; muré en position secondaire dans le bouchon inférieur de la troisième arcade romane (no inv. K319-2).



Fig. 9/9A. Martolet. Elévation est des chapelles Saint-Benoît et Marie-Madeleine. Relevé archéologique. Vue est.

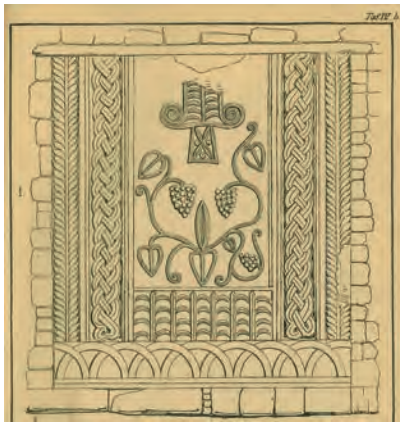


Fig. 9/9B. Martolet. Elévation est de la chapelle Marie-Madeleine. Relevé in situ du fragment d'ambon. (Sharman, ASA 1962)

Fig. 9/9C. Disposition de l'ambo après la restauration de l'église en 1933. (ASM)

Fig. 9/9D. Disposition actuelle de l'ambo avec la partie supérieure restituée.

Fig. 9/10. Martolet. Chapelle Saint-Benoît. Vue vers le nord-ouest. A: Baie du portail; B: niche au-dessus du portail.





Fig. 9/11. Martolet. Chevets des chapelles Saint-Benoît et Marie-Madeleine. Vue vers le nord-est .
Le sol de la chapelle Saint-Benoît (situé environ 20m sous la base des niches de la paroi nord) recouvrait les vestiges antérieurs



Fig. 9/12. Martolet. Chevets des chapelles Saint-Benoît et Marie-Madeleine. Façades orientales 1947. (ASM)



Fig. 9/13. Martolet. Chevet de la chapelle Saint-Benoît. Façade orientale. Vue vers le nord-ouest, 2012.



Fig. 9/14. Martolet. Chevet de la chapelle Marie-Madeleine. Façade orientale. Vue vers l'ouest, 2012.

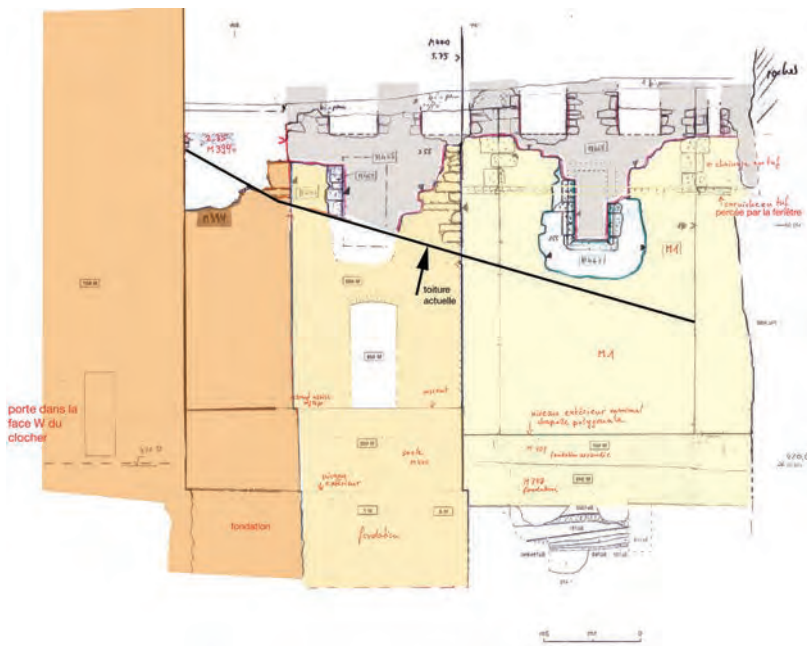


Fig. 9/15. Martolet. Chevets des chapelles Saint-Benoît et Marie-Madeleine. Relevé archéologique. Vue ouest .



Fig. 9/16. Martolet. Base polygonale à 14 facettes installée lors de la reconstruction de l'arcade nord. Elle devait soutenir l'un des trois arcs diaphragme cités dans le contrat de 1365. Vue vers le nord-ouest.



Fig. 9/17. Chapelle Felix V. Située jadis dans le collatéral sud de l'église du Martolet, elle fait aujourd'hui partie des combles du bâtiment abbatial. Vue vers l'est.



Fig. 9/18. Chapelle Felix V. Façade sud au niveau des combles du bâtiment abbatial. Angle sud-est.



Fig. 9/19. Chapelle Felix V. Cadran solaire peint sur la façade sud de la chapelle Felix V. Dans la bande horizontale, la devise « natus et senes » (il est né et il vieillit).



Fig. 9/20. Chapelle Felix V. Façade sud au niveau des combles du bâtiment abbatial. Troisième fenêtre depuis l'est ; à gauche, l'angle en saillie de la travée borgne.



Fig. 9/21. Chapelle Felix V. Mur délimitant les voûtes du côté ouest. Vue vers l'est. La fissure verticale correspond à la ligne d'arrabement de l'ancienne façade de la chapelle.



Fig. 9/22. Martolet. Mur auuel de la terrasse à l'ouest de la clôture du site. Sur l'écusson figure la date « 1697 » au-dessus d'un aigle.



Fig. 9/23. Martolet, pan rocheux lisse situé au-dessus de l'ancienne parelle de vigne, à l'extrémité ouest du Martolet. Vue vers le nord. Tout en haut est taillé le millésime « 1710 », puis de haut en bas « 1715 », « 1716 », « 1747 », « 1783 » et « 1789 ».



Fig. 9/24. Martolet, détail du millésime « 1710 ».



Fig. 9/25. Martolet. Vestige d'un bâtiment construit sur la terrasse rocheuse et accessible par un escalier de cinq marches. Vue vers l'ouest.



Fig. 9/26. Martolet. Bâtiment au pied du pan de bois, détail de l'escalier. Vue vers le nord-ouest.



Fig. 9/27. Martolet. Graffitis incisés dans le rocher.



Fig. 9/28. Martolet. Graffitis incisés dans le rocher, détails



Fig. 10/1. St-Maurice, Graubünden attribuée à Hans Ludolf publiée dans le complément de la Topographie de Matthäus Merian, en 1653. Extrait, vu vers l'ouest.



Fig. 10/2. St-Maurice. Les fondations du quartier abbatial (A). Elles ont été découvertes lors des fouilles de l'avenue d'Agaune, sur les vestiges du palais du haut Moyen-Âge (B). Vue vers le sud-ouest, 2013.

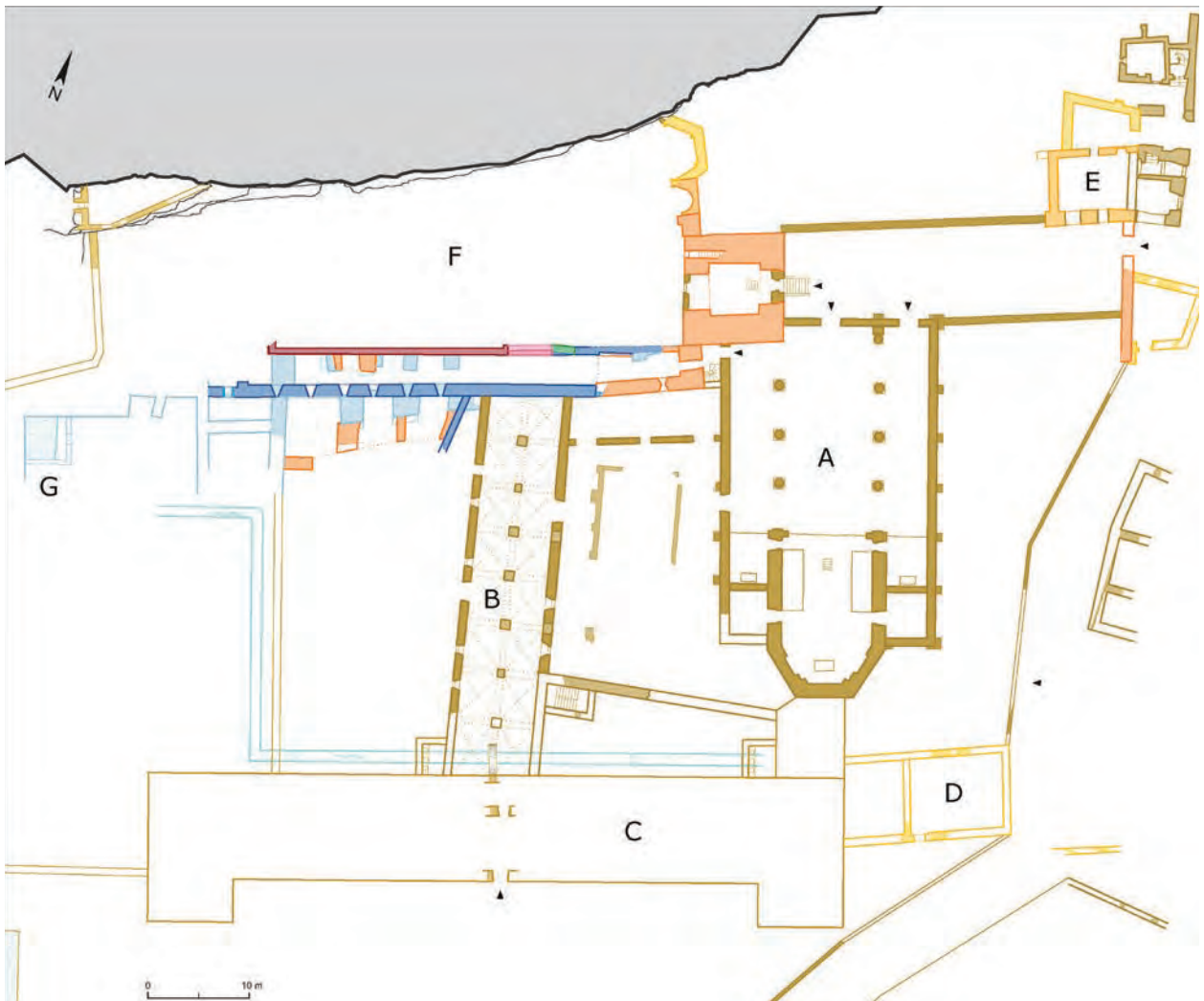


Fig. 10/3. St-Maurie . Plan archéologique de l'abbaye, 2e moitié du XVIIe siècle. A) église de 1614-1627 ; B) réfectoire de 1639 ou reste des restes d'un bâtiment plus ancien ; C) nouvelle aile selon le projet, à tuée d'après les vestiges au sol ; D) ancien quartier abbatial repéré sous l'aiguille d'Againe ; E) maison Panisset ; F) cour du Martolet ; G) emplacement de la tour.

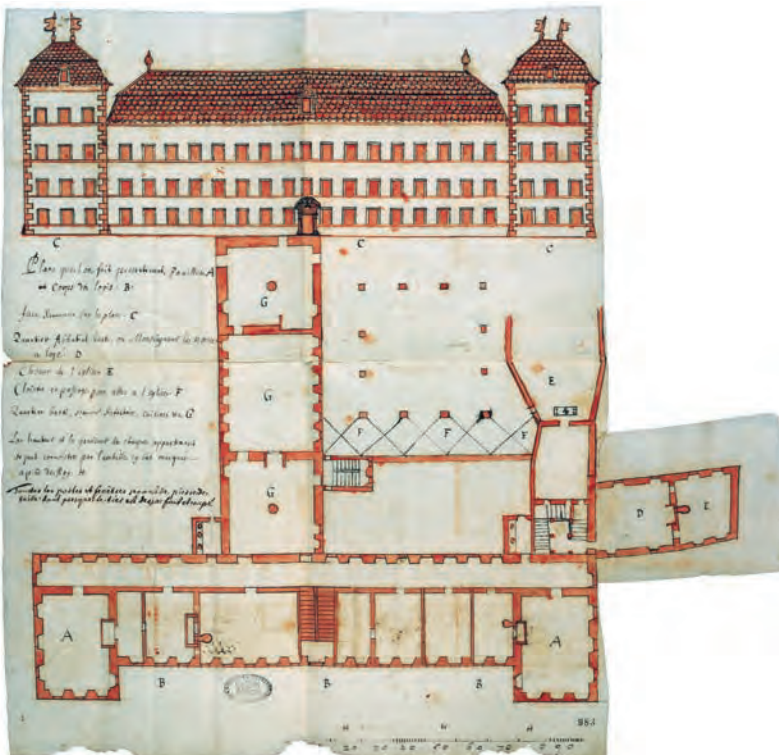


Fig. 10/4. Abbaye de St-Maurie . Plan de la deuxième moitié du XVIIe siècle représentant le projet d'une nouvelle aile conventuelle au sud du réfectoire. Sans date ; plan conservé aux Archives Secrètes du Vatican (timbre). Arch. Nunz. Lucerna 38, F. 983a, Pianta dell'Abbazie di S. Maurizio.

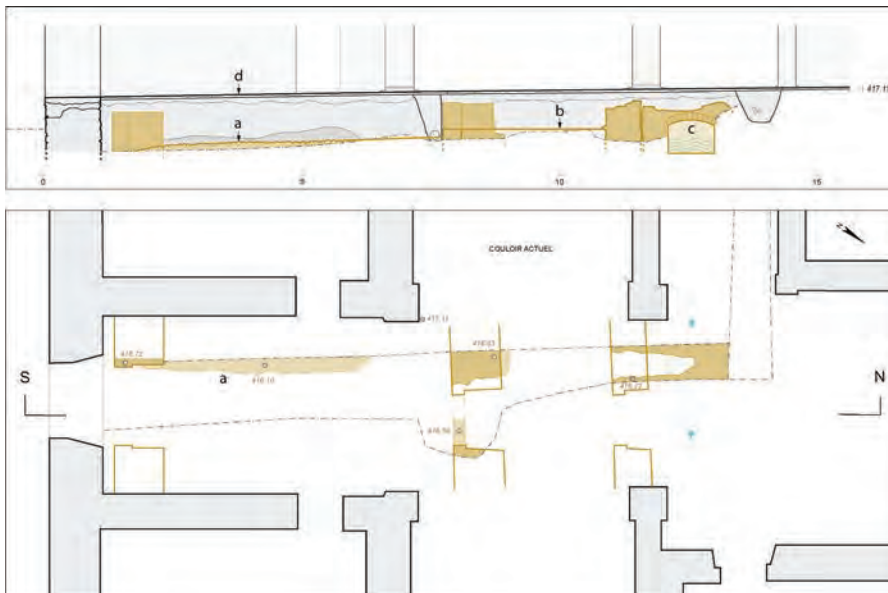


Fig. 10/5A. St-Maurice. Aile Sud du complexe abbatial (rez-de-bas au 1^{er} étage). Détail des niveaux repérés dans une tranchée (profil ouest en haut et plan en bas vers le sud-ouest). Fouilles 2002.

a) pavement du hall d'entrée recouvert de débris d'incendie ;
b) niveau restitué du couloir ancien ;

c) plan provenant du captage de l'eau de source ;

d) niveau du rez-de-bas actuel.

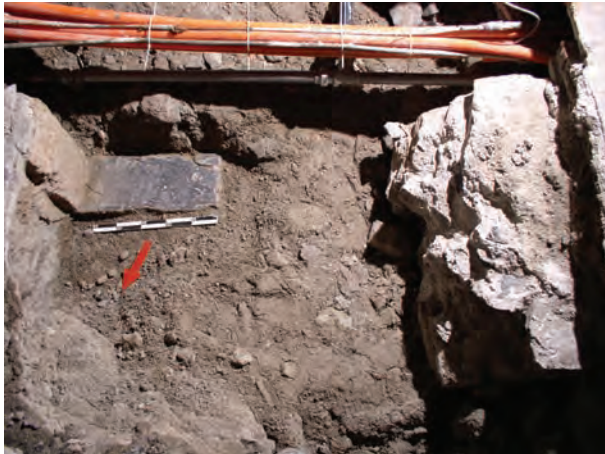


Fig. 10/5B. St-Maurice. Aile Sud du complexe abbatial, tranchée transversale. Piédroit occidental de la porte aménagée dans le mur sud du bâtiment arasé. On observe distinctement la feuillure et l'embrasure avec les restes de l'épi. Vue vers le sud. (Tera 2002)



Fig. 10/5C. St-Maurice. Aile Sud du complexe abbatial, tranchée transversale. Le pavement (Ss300) est recouvert par une épaisse couche de fragments de stuc (Sc293) indurée à la surface, puis par un remblai de nivellement (Ss290). Sur l'arrière plan, le montant en bois de la porte aménagée dans le mur sud du bâtiment. Vue vers le sud. (Tera 2002)



Fig. 10/6A. St-Maurice. Basilique actuelle. Maître-autel après le démontage des marbres. Les bords de la mensa primitive sont indiqués en rouge. Vue vers le sud (Tera 2004).



Fig. 10/6B. St-Maurice. Basilique actuelle. Dans un sondage, l'extrados des voûtes couvrant le caveau funéraire a été mis au jour. En premier plan, la trappe ouvrant sur l'escalier d'accès. Vue vers le sud (Tera 2004).

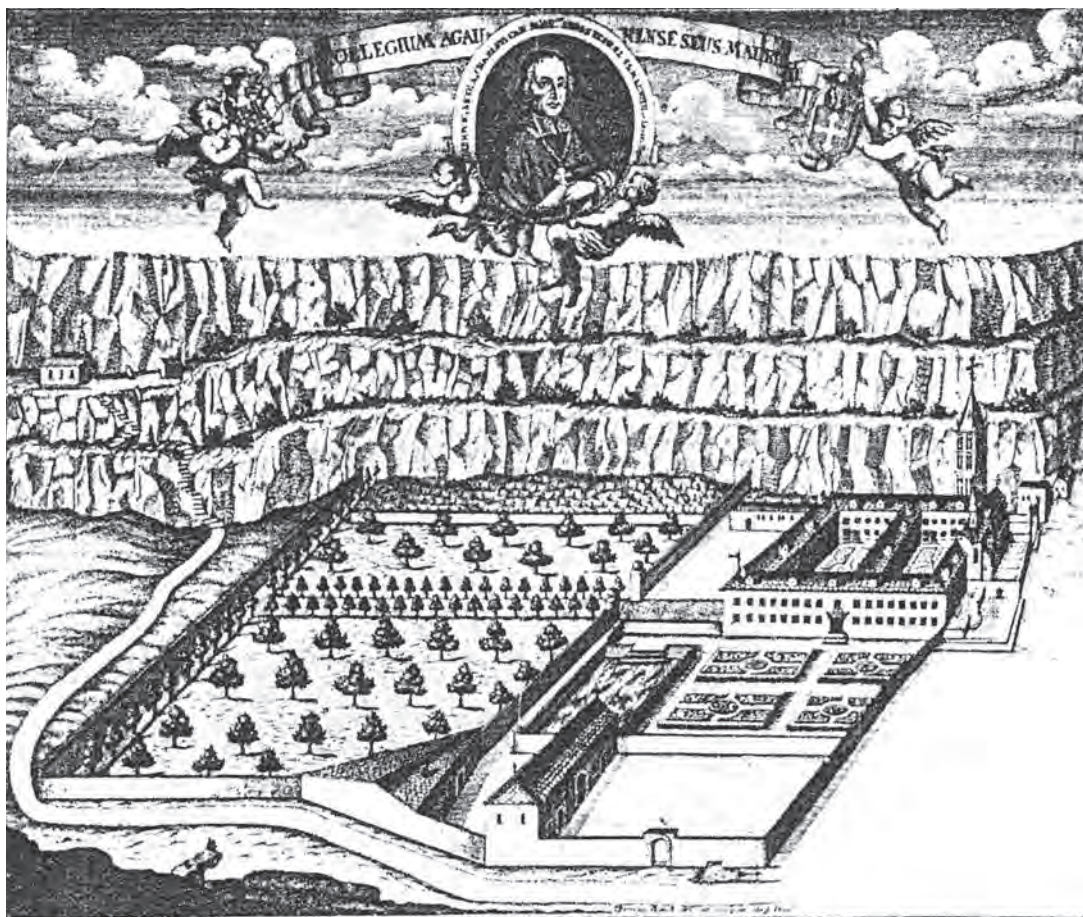


Fig. 10/7. L'abbaye de Saint-Maurice dessinée par Thomas Baekker. Dans le médaillon, le portrait de Louis de Charléty, abbé de 1719 à 1736, nommé bailli de l'ordre des SS. Maurice et Lazare en 1728. Lithographie anonyme, vers 1730. Vue prise vers le nord.



Fig. 10/8. Abbaye de Saint-Maurice. Relevé tourné vers l'ouest, daté de 1775; extrait. (ASM)

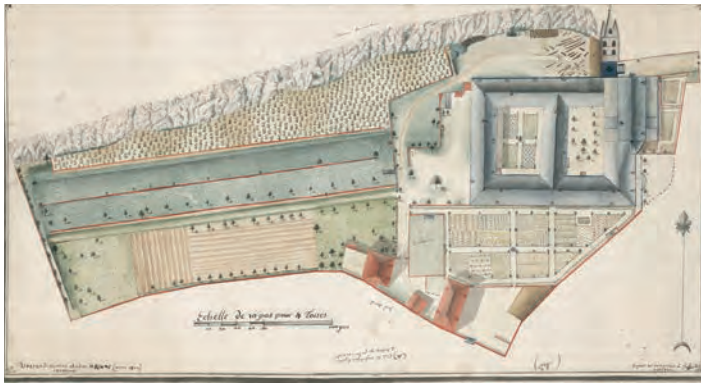


Fig. 10/9A. Abbaye de Saint-Maurice . Relevé tourné vers le nord, signé en bas à gauche «Rece rendis mus Abbas à Riā s ino epit (anno 1830)». Dessiné à la plume o lorié. (ASM)

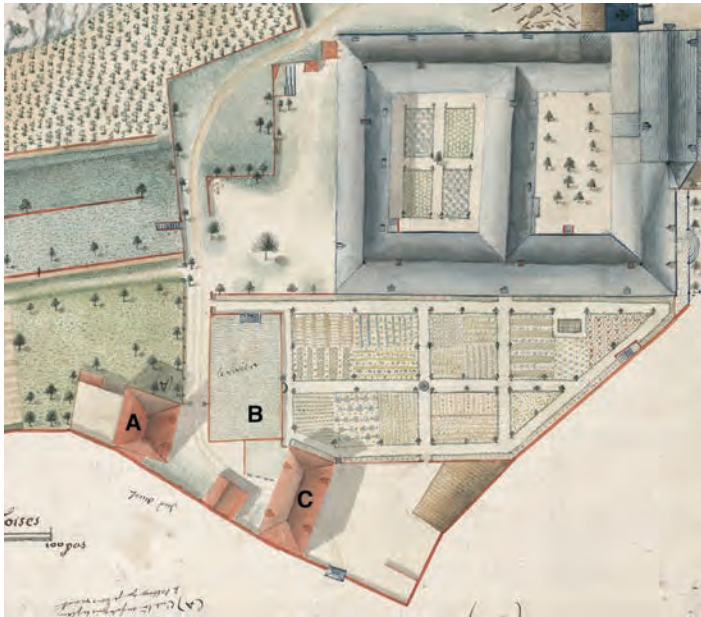


Fig. 10/9B. Extrait du plan 9A. A : Prod re, B : Viiv er, C : Ea ries

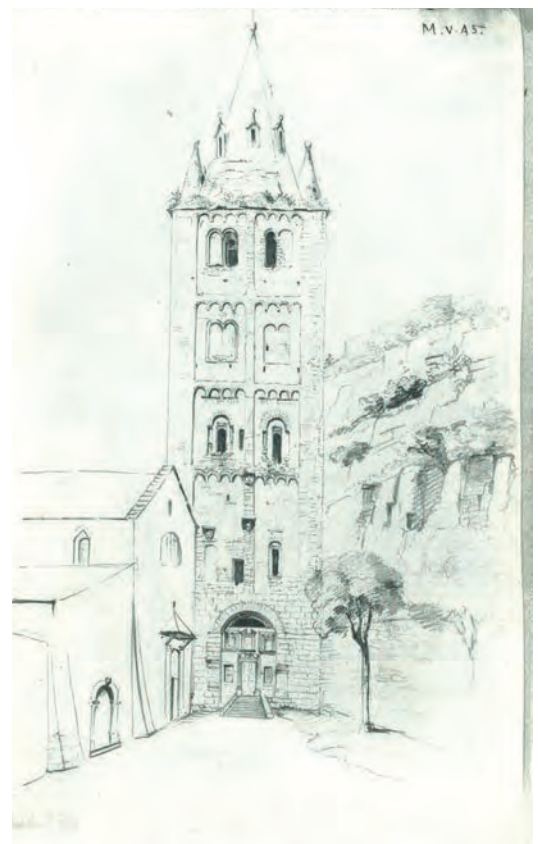


Fig. 10/9C. St-Maurice .Le parv s de la bas lique, vu vers l'ouest, représenté par Raphaël Ritz, 1845. Dessiné en bas à gauche. (Musée national Zurich , SLM AGZ, M, V, S.45, Inv.-No 2855)



Fig. 10/10. St-Maurice. Relevé de l'abbaye tourné vers le nord, daté de 1883. (ASM)



Fig. 10/11. St-Maurice. Abbaye. Fragment de fresque provenant du clocher. (Actuellement dans le dépôt Tera)

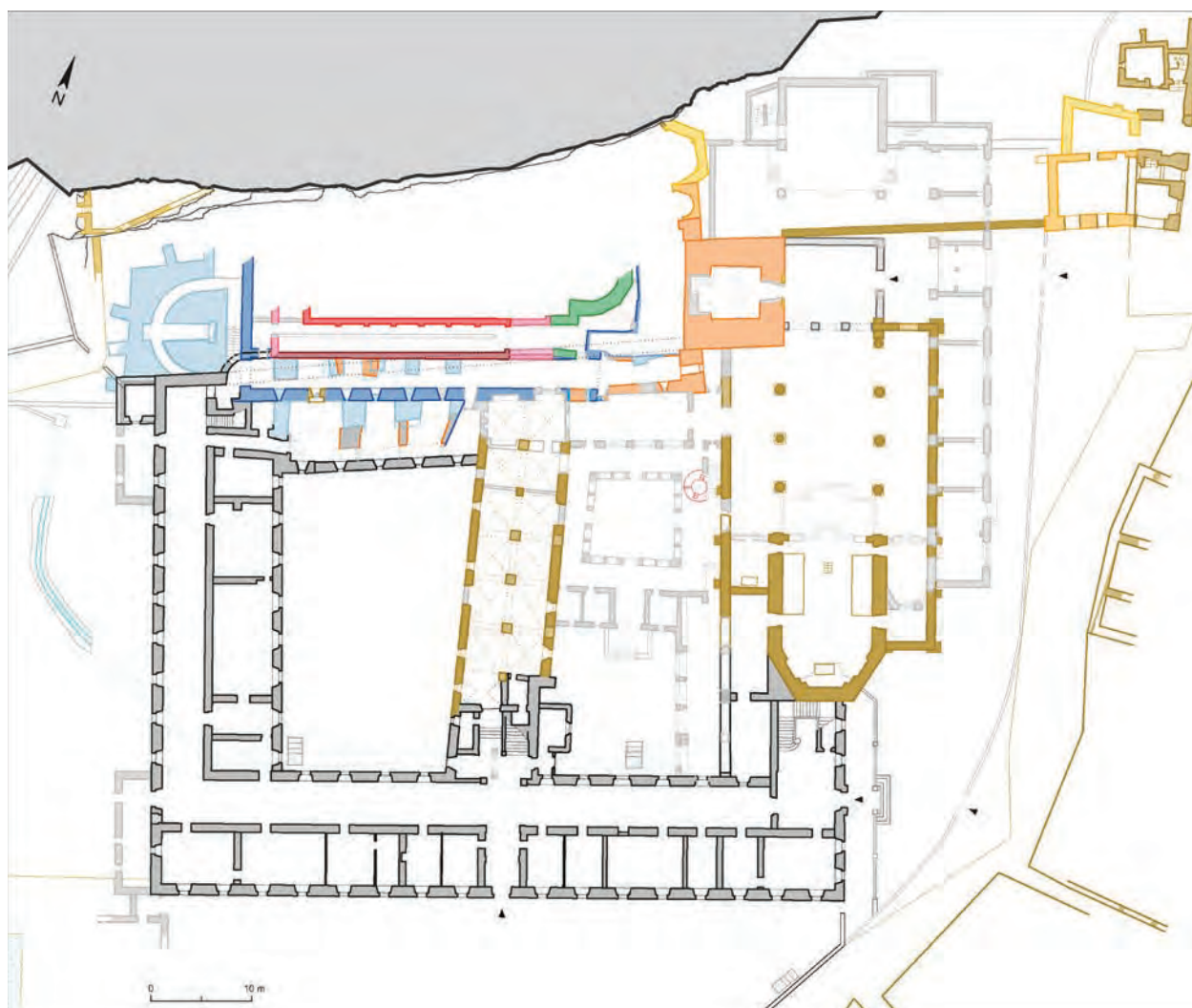


Fig. 10/12. St-Maurice. Plan de l'abbaye après la reconstruction du XVIIIe siècle. En gris, les ajouts du XXe siècle.

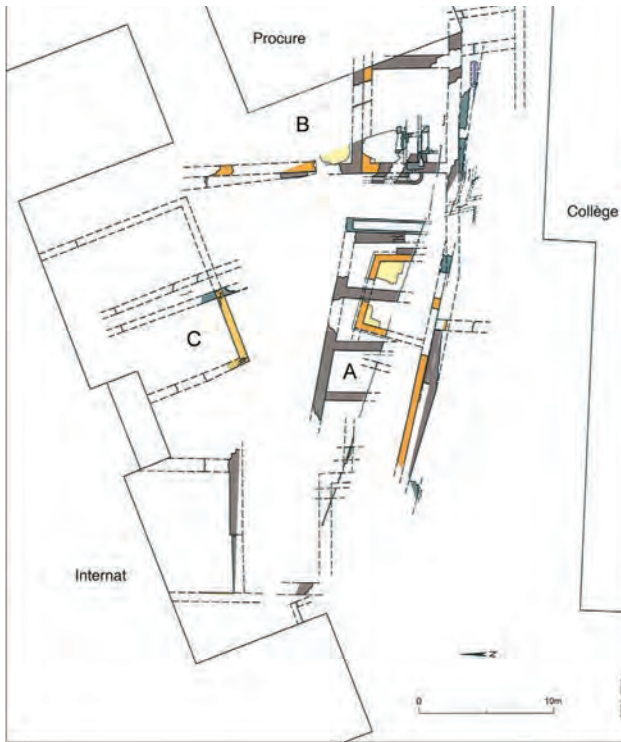


Fig. 10/13. St-Maurie. Cour des Anciens
Relevé schématique des vestiges mis au jour entre l'Internat et le Collège. Vue face à l'est. (Tera 2011-2012)



Fig. 10/14A. St-Maurie. Cour des Anciens
Les vestiges du commun (A), de l'école (B) et du vivier (C).
Vue vers l'est, fouille 2012.

Fig. 10/14B. Cour des Anciens
Paroi sud du vivier (M289), avec sa réfection (M288) comprenant un agrandissement vers le sud. Une onction de calcite jaunâtre (UT283) témoigne d'un bassin peu étanche. Lors d'un dernier état, une conduite maçonnée (M282) traversait le bassin pour approvisionner des installations situées en outrebas.
Vue vers l'ouest. (Tera 2012)

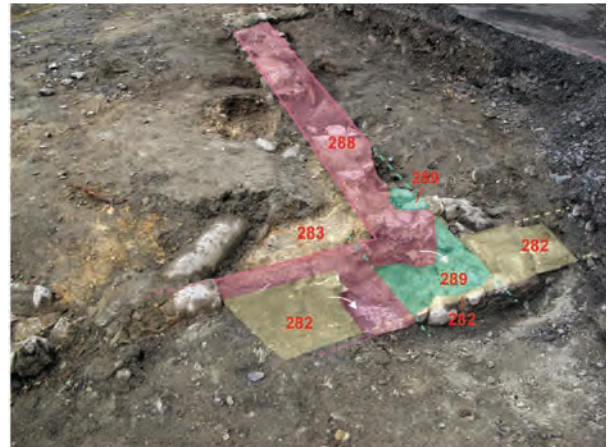


Fig. 10/14C. St-Maurice. Cour des Anciens
Vestiges de l'ancienne Ecurie, vus vers le nord-est. Le sol du local visible au premier plan était recouvert par une chape de ciment inclinée vers deux caniveaux reliés à un puits et une canalisation longeant la façade ouest du bâtiment. Cet aménagement correspond peut-être à un ancien lavoir de l'abbaye.
Vue vers le nord. (Tera 2012)

Fig. 10/15. St-Maurice .

Au premier plan, le chemin de fer construit en 1859, et derrière, les jardins de l'abbaye bordés à droite par l'ancienne prairie et le communal. Vue vers le nord-est.

(« 200 Ans d'enseignement au Collège de l'abbaye de St-Maurice », Hier et Avant-hier, St-Maurice 2006, p. 8.)

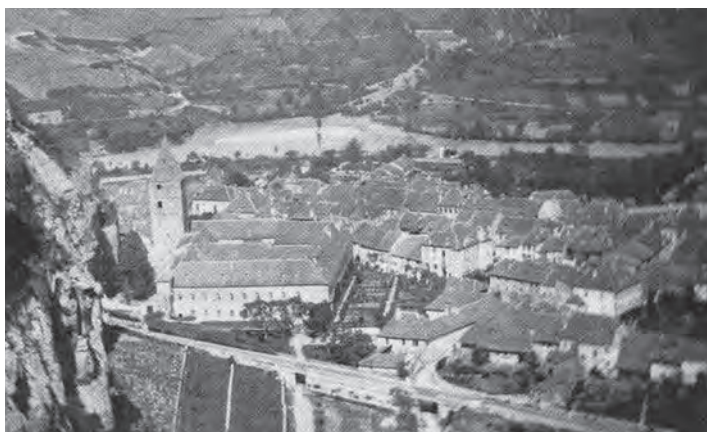


Fig. 10/16. St-Maurice. La façade orientale (vaisseau latéral) avant l'agrandissement de l'église au milieu du XXe siècle. Vue vers le nord-ouest. (ASM)



Fig. 10/17. St-Maurice . Le porche au pied du clocher construit en 1891. Vue vers l'ouest. (ASM)

Fig. 10/18. St-Maurice . Le nouvel Internat (1891-1893) vu depuis la cour St-Étienne. Photo datée entre 1906 (agrandissement de la cour) et l'ajout des ailes latérales et du troisième étage (1913-1915). (ASM)



Fig. 10/19. Abbaye .
La cour St-Étienne après l'agrandissement de la cour et la construction du bâtiment d'eau en 1906. (ASM)

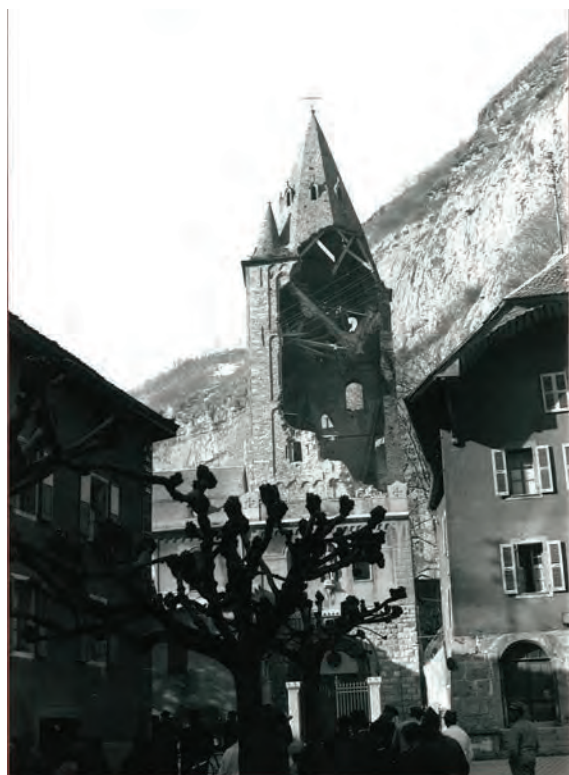
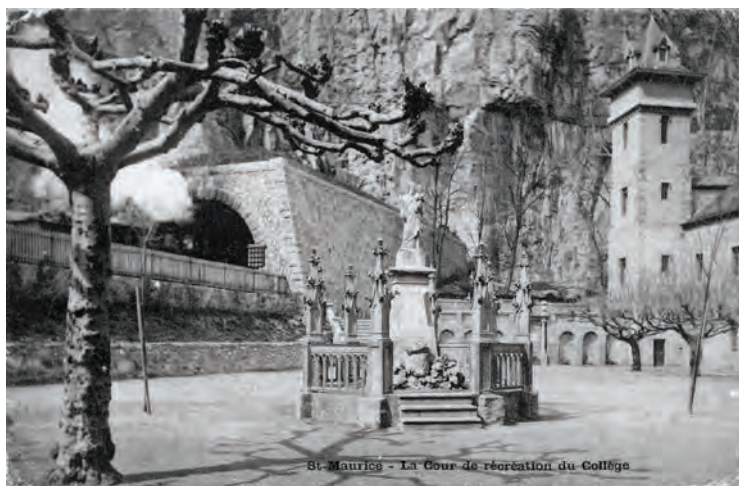


Fig. 10/20. St-Maurice. Le clocher abbatial touché par un bloc tombé de la falaise, en 1946 (ASM)



Fig. 10/21. St-Maurice . Les travaux de construction pour la nouvelle église (1947-1949). Au centre, l'arc du portail d'entrée. Vue vers l'est. (ASM)

Fig. 10/22. St-Maurice. Les travaux de construction pour la nouvelle église (1947-1949). (ASM)



Fig. 10/23. Abbaye .

La façade orientale (vaisseau latéral) de l'église agrandie au milieu du XXe siècle, avec l'ancien bâtiment du parvis. Vue vers le nord. (ASM)



Fig. 10/24. Abbaye. La cour Ste-Catherine avant sa transformation au milieu du XXe siècle. Vue vers le nord. (ASM)



Fig. 10/25. Martolet. L'ancien escalier reliant l'étage de l'internat à la cour de récréation. Vue vers le sud-ouest. (ASM)

Fig. 10/26. Abbaye, Cour St-Joseph.
 La grande fosse ouverte en mai 2003 pour l'installation des machines de forage, profil nord. (Tera 2003).
 Le mur le plus massif (M521 épaisseur en fondation 130cm) et le mur perpendiculaire plus étroit du profil latéral (M526 épaisseur 0,70m) nous situent un 1er groupe de vestiges.
 Après leur arasement, le mur à droite (M525) et l'angle chaîné à gauche (M522 et M523) ont été aménagés.
 Une dernière maçonnerie peu profonde (M524) appartient à une 3e période de construction.

